



การกำจัดเหล็กในน้ำบาดาลด้วยชานอ้อยและถ่านก้มมันต์จากชานอ้อย

Removal of Fe in groundwater by sugarcane bagasse and
sugarcane bagasse activated carbon

ประชาติ วัชรบัณฑิต

งานวิจัยนี้ได้รับทุนสนับสนุนจากสถาบันวิจัยและพัฒนา
มหาวิทยาลัยราชภัฏเทพสตรี

2560

กิตติกรรมประกาศ

ผู้วิจัยขอขอบคุณสถาบันวิจัยและพัฒนา มหาวิทยาลัยราชภัฏเทพสตรี ที่สนับสนุนและให้ทุนวิจัยจากงบประมาณแผ่นดิน พ.ศ. 2560

ขอขอบคุณเจ้าหน้าที่ห้องปฏิบัติการเคมีที่ให้ความช่วยเหลือในการใช้เครื่องมือและอุปกรณ์ในการวิจัย

ประชาติ วัชรบันธิต
ผู้วิจัย

บทคัดย่อภาษาไทย

งานวิจัยนี้ทำการศึกษาการกำจัดเหล็กในนาบคาดตัวยานอ้อยและถ่านก้มมันต์จากชานอ้อยในระบบกะ (batch process) ปัจจัยที่ศึกษาได้แก่ เวลาที่เข้าสู่สมดุลและความเข้มข้นของสารละลาย ใช้ SEM-EDS และ FTIR เพื่อศึกษาคุณลักษณะของตัวดูดซับ จากข้อมูลการทดลองใช้ไอโซเทอร์มแลงเมียร์และฟรุนเดลิชิบาย ผลการทดลองสามารถอธิบายได้ด้วยไอโซเทอร์มแลงเมียร์ ทั้งชานอ้อยและถ่านก้มมันต์จากชานอ้อย โดยมีค่าความสามารถในการดูดซับสูงสุดเท่ากับ 39.526 และ 131.579 มิลลิกรัมต่อกิโลกรัม สำหรับชานอ้อยและถ่านก้มมันต์จากชานอ้อย จากการทดลอง ชี้ให้เห็นว่าชานอ้อยและถ่านก้มมันต์จากชานอ้อย เป็นตัวดูดซับที่มีประสิทธิภาพในการกำจัดสารละลายเหล็ก

คำสำคัญ: การกำจัด, เหล็ก, ชานอ้อย, ถ่านก้มมันต์จากชานอ้อย

Abstract

In this study, the removal of Iron in groundwater onto sugarcane bagasse and activated carbon from sugarcane bagasse was carried out in batch process. The effects of adsorption such as contact time and initial dye concentration were investigated. SEM-EDS and FTIR were used to study the characterization of adsorbents. The experimental data were analyzed by Langmuir and Freundlich isotherms. The adsorption data was fitted very well with Langmuir isotherm both sugarcane bagasse and activated carbon from sugarcane bagasse. The maximum adsorption capacity of Langmuir isotherm was 39.526 and 131.579 mg/g for sugarcane bagasse and activated carbon from sugarcane bagasse, respectively. The kinetics for the adsorption corresponded to the pseudo-second order model. Experimental results showed that the sugarcane bagasse and activated carbon from sugarcane bagasse was effective adsorbent for removing of iron in groundwater.

Key words : adsorption, Iron, sugarcane bagasse, activated carbon from sugarcane bagasse

	หน้า
กิตติกรรมประกาศ	ก.
บทคัดย่อภาษาไทย	ข.
บทคัดย่อภาษาอังกฤษ	ค.
สารบัญ	ง.
สารบัญตาราง	ช.
สารบัญรูป	ช.
บทที่ 1	1
1.1 ความสำคัญและที่มา	1
1.2 วัตถุประสงค์ของการวิจัย	1
1.3 ขอบเขตของการวิจัย	1
1.4 กรอบแนวคิดของโครงการวิจัย	2
1.5 นิยามศัพท์	3
บทที่ 2 เอกสารและงานวิจัยที่เกี่ยวข้อง	4
2.1 วัสดุที่ใช้ดูดซับ	4
2.2 เหล็กในน้ำ	4
2.3 ชานอ้อย	5
2.4 ถ่านกัมมันต์	6
2.5 การดูดซับ	6
2.6 จนผลศาสตร์การดูดซับ	8
2.7 การกำจัดเหล็กในน้ำของตัวดูดซับชนิดต่าง ๆ	9
บทที่ 3 วิธีดำเนินการวิจัย	12
3.1 การเตรียมสารละลายเหล็ก	12
3.2 เครื่องมือที่ใช้ในการทดลอง	12
3.2.1 เครื่องมือที่ใช้ในการทดลอง	12
3.2.2 อุปกรณ์ที่ใช้ในการทดลอง	12
3.2.3 สารเคมีที่ใช้ในการทดลอง	13
3.3 วิธีดำเนินการวิจัย	13
3.3.1. ประชากรและกลุ่มตัวอย่าง	13
3.3.2. ศึกษาประสิทธิภาพและปัจจัยที่มีผลต่อการดูดซับ	13
3.2.3 ศึกษาองค์ประกอบทางกายภาพและเคมีของชานอ้อยและ ถ่านกัมมันต์จากชานอ้อย	14
3.2.4 ศึกษาประสิทธิภาพการกำจัดเหล็ก	14
บทที่ 4 ผลการวิจัยและอภิปรายผลการทดลอง	16

4.1 การเตรียมตัวคุณชั้บ	16
4.1.1 การเตรียมงานอ้อย	16
4.1.2 การเตรียมถ่านก้มมันต์จากชาโน้อ้อย	17
4.2 ศึกษาคุณลักษณะทางกายภาพและเคมีของตัวคุณชับ	17
4.3 ผลของเวลาที่เข้าสู่สมดุล	21
4.4 ผลของปริมาณตัวคุณชับ	22
4.5 ผลของความเข้มข้นสารละลาย	23
4.6 ไอโซเทอร์มการคุณชับ	24
4.7 การกำจัดเหล็กในน้ำบำบัดจากชุมชน	29
บทที่ 5 สรุปผลการวิจัยและข้อเสนอแนะ	30
5.1 สรุปผลการวิจัย	30
5.2 ข้อเสนอแนะ	30
เอกสารอ้างอิง	30
ภาคผนวก	33
ภาคผนวก ก.	34

สารบัญตาราง

ตารางที่	หน้า
2.1 องค์ประกอบพื้นฐานของชานอ้อย	5
2.2 ปัจจัยการแยกที่มีผลต่อรูปร่างของไอโซเทอร์มແลงเมียร์	7
4.1 ผลการคำนวณจากไอโซเทอร์มการกำจัดเหล็กด้วยชานอ้อย	24
4.2 ผลการคำนวณจากไอโซเทอร์มการกำจัดเหล็กด้วยถ่านก้มมันต์จากชานอ้อย	25
4.3 พารามิเตอร์ของไอโซเทอร์มการกำจัดเหล็กของชานอ้อยและถ่านก้มมันต์จากชานอ้อย	26
ก.1 ผลของเวลาในการกำจัดเหล็กในน้ำดาลด้วยชานอ้อยและถ่านก้มมันต์จากชานอ้อย	34
ก.2 ผลของปริมาณตัวดูดซับในการกำจัดเหล็กในน้ำดาลด้วยชานอ้อยและถ่านก้มมันต์จากชานอ้อย	34
ก.3 ผลของความเข้มข้นในการกำจัดเหล็กในน้ำดาลด้วยชานอ้อยและถ่านก้มมันต์จากชานอ้อย	35

สารบัญรูป

รูปที่	หน้า
2.1 ไอโซเทอร์มการดูดซับพื้นฐาน 5 ชนิด	8
4.1 พื้นผิวของชานอ้อย (SEM)	16
4.2 พื้นผิวของถ่านกัมมันต์จากชานอ้อย (SEM)	17
4.3 องค์ประกอบของชานอ้อยและถ่านกัมมันต์จากชานอ้อย (SEM-EDS)	18
4.4 หมู่ฟังก์ชันของชานอ้อย	19
4.5 หมู่ฟังก์ชันของถ่านกัมมันต์จากชานอ้อย	20
4.6 ผลของเวลาในการดูดซับด้วยชานอ้อยและถ่านกัมมันต์จากชานอ้อย	21
4.7 ผลของปริมาณตัวดูดซับในการดูดซับด้วยชานอ้อย	22
4.8 ผลของปริมาณตัวดูดซับในการดูดซับด้วยถ่านกัมมันต์จากชานอ้อย	22
4.9 ผลของความเข้มข้นสารละลายในการดูดซับด้วยชานอ้อยและถ่านกัมมันต์จากชานอ้อย	23
4.10 ไอโซเทอร์มการดูดซับและเมียร์ของชานอ้อย	24
4.11 ไอโซเทอร์มการดูดซับฟรุนเดลิชของชานอ้อย	25
4.12 ไอโซเทอร์มการดูดซับและเมียร์ของถ่านกัมมันต์จากชานอ้อย	25
4.13 ไอโซเทอร์มการดูดซับฟรุนเดลิชของถ่านกัมมันต์จากชานอ้อย	26
4.14 ปัจจัยการแยกในการกำจัดเหล็กด้วยชานอ้อย	28
4.15 ปัจจัยการแยกในการกำจัดเหล็กด้วยถ่านกัมมันต์จากชานอ้อย	28

บทที่ 1

บทนำ

1.1 ความสำคัญและที่มา

สภาพปัจจุหาการแห้งแล้งในประเทศไทย ทำให้รัฐบาลมีการรณรงค์และส่งเสริมให้ประชาชนใช้น้ำให้แบบประหยัดและให้มีประสิทธิภาพมากที่สุด และในสภาพปัจจุบันจึงมีการนำน้ำบาดาลมาใช้ทดแทนน้ำประปา จังหวัดพบูรีมีจำนวนบ่อบาดาลเพื่อการเกษตรจำนวน 3,799 บ่อ เนื่องจากจังหวัดพบูรีประชารส่วนใหญ่ประกอบอาชีพเกษตรกรรมทำให้มีการปั้นเป็นของสารตอกด่างให้ลงสู่แหล่งน้ำ ซึ่งเป็นสาเหตุของการอุปโภค-บริโภค โดยพบว่ามีบ่อน้ำบาดาลเพื่อการอุปโภค-บริโภคจำนวน 6,878 บ่อ (บทบาทน้ำบาดาลในภาคเกษตรกรรมในพื้นที่ด้านเหนือของที่ราบภาคกลางตอนล่าง, 2553) ซึ่งแสดงให้เห็นถึงความสำคัญของคุณภาพของน้ำบาดาลที่ใช้ ซึ่งหน่วยปฏิบัติการวิจัยระบบการจัดการแห้งแล้งน้ำจุฬาลงกรณ์มหาวิทยาลัย ได้ทำการวิเคราะห์คุณภาพน้ำบาดาลในช่วงหน้าแล้งและหน้าฝน พบว่าในจังหวัดพบูรีคุณภาพน้ำบาดาลโดยรวมสามารถใช้เพื่อการอุปโภค-บริโภคได้แต่ต้องทำการปรับปรุงคุณภาพน้ำก่อนนำไปใช้ เช่นชาวบ้านในบริเวณตำบลลังเพลิง อำเภอหนองช้างอน จังหวัดพบูรี เป็นอีกชุมชนหนึ่งที่ใช้น้ำบาดาลเกือบทกครัวเรือน แต่เนื่องจากคุณภาพของน้ำบาดาลมีเหล็กปนเป็นอยู่ในน้ำบาดาล เนื่องจากบริเวณพื้นที่มีแร่เหล็กผ่านบริเวณได้ดิน ซึ่งเหล็กที่พบอยู่ในน้ำบาดาลเป็นส่วนใหญ่ เมื่อสูบน้ำมาใหม่ๆ จะมีลักษณะใส่มาก แต่เมื่อทิ้งให้สัมผัสอากาศสักครู่น้ำนั้นจะปรากฏความขุ่นให้เห็น ปัญหาของเหล็กในน้ำนั้นทำให้ไม่เหมาะสมต่อการอุปโภคบริโภคเมื่อนำมาซักเสื้อผ้า จะทำให้เสื้อผ้าเป็นสีเหลือง และถ้าใช้ในการหุงข้าวทำให้ข้าวบูดเร็ว อีกทั้งทำให้สุขภัณฑ์เป็นสีเหลือง รวมทั้งอาจทำให้อกาศทำให้หม้อน้ำเกิดตะกรันขึ้นภายในหม้อน้ำได้ (<http://202.129.59.73/tn/March54/Ferum.htm>)

ประเทศไทยมีเป็นเมืองเกษตรกรรม ทำให้มีวัสดุเหลือทิ้งจากการเกษตรจำนวนมาก ซึ่งอ้อยเป็นวัสดุทางเกษตรที่มีมากในจังหวัดพบูรี แต่ละปีมีวัสดุเหลือทิ้งจากการผลิตน้ำตาลและน้ำอ้อยซึ่งถ้านำกลับมาใช้ประโยชน์จะเป็นการเพิ่มมูลค่าได้ โดยในงานวิจัยที่ผ่านมา มีการนำวัสดุเหลือทิ้งมาเตรียมเป็นวัสดุดูดซับได้แก่ ถ่านกัมมันต์ เป็นจำนวนมาก เนื่องจากถ่านกัมมันต์เป็นตัวดูดซับที่ใช้กันมากในการกำจัดสารอินทรีย์และสารอนินทรีย์ในน้ำเสีย เนื่องจากมีพื้นที่ผิวมากและโครงสร้างที่เป็นรูพรุนขนาดเล็ก แต่ขอเติยของถ่านกัมมันต์คือมีราคาแพงและการพื้นฟูสภาพ (regenerate) (Kandah et al., 2010)

จากเหตุผลข้างต้นผู้วิจัยมีความต้องการที่จะศึกษาถึงประสิทธิภาพการกำจัดเหล็กในน้ำบาดาลด้วยชานอ้อยและถ่านกัมมันต์จากชานอ้อย ซึ่งนอกจากจะเป็นการนำวัสดุเหลือทิ้งมาใช้ประโยชน์แล้ว ยังเป็นการสร้างมูลค่าเพิ่มในห้องถังให้เกิดประโยชน์อย่างสูงสุด เพื่อให้ได้ข้อมูลในการออกแบบถังบำบัดน้ำเสียสำหรับระบบปฏิบัติการจริงในการกำจัดเหล็กในน้ำบาดาลต่อไป

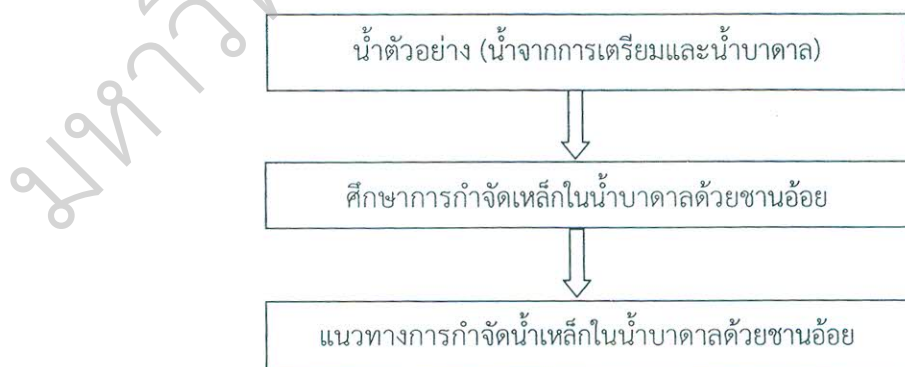
1.2 วัตถุประสงค์ของการวิจัย

1. ศึกษาปัจจัยที่มีผลต่อการกำจัดเหล็กในน้ำดาลด้วยชานอ้อยและถ่านกัมมันต์จากชานอ้อย ได้แก่ เวลาที่สัมผัส และความเข้มข้นของสารละลาย
2. เพื่อศึกษาประสิทธิภาพการกำจัดเหล็กในน้ำดาลด้วยชานอ้อยและถ่านกัมมันต์จากชานอ้อย
3. เพื่อเปรียบเทียบประสิทธิภาพการกำจัดเหล็กในน้ำดาลด้วยชานอ้อยและถ่านกัมมันต์จากชานอ้อย

1.3 ขอบเขตของโครงการวิจัย

1. น้ำตัวอย่างที่ใช้ในการทดลองเป็นน้ำดาลจำลองและน้ำดาลจริงจากชาวบ้าน อ.หนองช้างนอน จ.ลพบุรี
2. ตัวตัดซับที่ใช้ได้แก่ ชานอ้อยและถ่านกัมมันต์จากชานอ้อย (ทำการวิเคราะห์ประสิทธิภาพการกำจัดเหล็กโดยการเปรียบเทียบกับถ่านกัมมันต์ที่เตรียมขึ้นเองจากชานอ้อย)
3. ศึกษาไอโซเทอร์มและจลนพลศาสตร์การกำจัดเหล็กในน้ำดาลด้วยชานอ้อยและถ่านกัมมันต์จากชานอ้อย เพื่อหาประสิทธิภาพและออกแบบถังบำบัด
4. ศึกษาองค์ประกอบทางกายภาพและเคมีของชานอ้อยและถ่านกัมมันต์จากชานอ้อย ได้แก่
 - 4.1 วิเคราะห์ลักษณะทางสัณฐานวิทยาและเทคนิคการวัดการกระจายพลังงานด้วย Scanning Electron Microscope equipped with Energy Dispersive Spectrometer (SEM-EDS) เพื่อศึกษาถึงพื้นผิวและการกระจายตัวของรูพรุน
 - 4.2 วิเคราะห์องค์ประกอบเคมีด้วย Scanning Electron Microscope equipped Energy Dispersive Spectrometer (SEM-EDS) เพื่อศึกษาถึงปริมาณซิลิกาและอลูมินา
 - 4.3 วิเคราะห์หมู่ฟังก์ชันด้วย Fourier transform infrared spectroscopy (FT-IR) เพื่อศึกษาถึงหมู่ฟังก์ชัน

1.4 กรอบแนวความคิดของการวิจัย



1.5 นิยามศัพท์

การดูดซับ คือ การถ่ายโอนองค์ประกอบจากของเหลว (liquid phase) ไปอยู่บนผิวของของแข็ง (solid phase) โดยที่จับอยู่กับผิวของแข็งเรียกว่า ตัวถูกดูดซับ (adsorbate) และที่ของแข็งที่จับตัวถูกดูดซับ เรียกว่า ตัวดูดซับ (adsorbent)

ไอโซเทอร์ม คือ ความสัมพันธ์ระหว่างปริมาณของตัวถูกดูดซับที่ถูกดูดซับ (qe) ต่อ 1 หน่วยมวลของตัวดูดซับที่ความเข้มข้นสมดุล (Ce) และที่อุณหภูมิคงที่

หินภูเขาไฟ คือ (Volcanic rock) หรือ หินอัคนีพู (Extrusive rock) คือหินอัคนีที่เกิดจาก การเย็นตัวและตกผลึกของหินหลอมเหลวที่ไหลขึ้นมาบนผิวโลก ที่เราเรียกว่า ลาวา (Lava) ที่ไหลขึ้นมาสู่บนผิวโลกหรือใกล้ผิวโลกจากการระเบิดของภูเขาไฟ

จนพลศาสตร์การดูดซับ คือ จนพลศาสตร์การดูดซับ คือ การศึกษาเกลไกการดูดซับจาก การเปลี่ยนแปลงความเข้มข้นของสารตั้งต้นต่อหนึ่งหน่วยเวลาหรือเรียกว่า อัตราเร็วของการดูดซับ (rate of reaction) ณ เวลาต่าง ๆ ก่อนการดูดซับเข้าสู่สภาวะสมดุล

บทที่ 2

เอกสารที่เกี่ยวข้อง

2.1 วัสดุที่ใช้ดูดซับ

สารที่มีความสามารถในการดูดซับมีหลายชนิด อาจแบ่งได้เป็น 5 ประเภท (นิพนธ์และคณิตา, 2550) ได้แก่

1. สารอนินทรีย์ เช่น ดินเหนียวชนิดต่าง ๆ แมกนีเซียมออกไซด์ และซิลิกาภัมมันต์ สินแร่ จำพวกอะลูมิเนียมชิลิกेट วัสดุดูดซับสารอนินทรีย์จะมีพื้นที่ผิวจำเพาะประมาณ 50 – 200 ตาราง เมตรต่อกรัม และดูดซับໄมเลกูลสารเพียงไม่กี่ชนิด
2. ถ่านกัมมันต์ มีพื้นที่ผิวจำเพาะประมาณ 500–1,400 ตารางเมตรต่อกรัม เป็น วัสดุดูดซับที่มีประสิทธิภาพและมีการนำไปใช้งานอย่างกว้างขวาง
3. สารอินทรีย์สังเคราะห์ ได้แก่ สารแลกเปลี่ยนไอออน (เรซิน, resin) ชนิดพิเศษ ที่สังเคราะห์ขึ้นเพื่อกำจัดสารอนินทรีย์ต่างๆ พื้นที่ผิวจำเพาะประมาณ 300-500 ตารางเมตรต่อกรัม
4. วัสดุชีวภาพ (biomaterials) ส่วนใหญ่เป็นวัสดุเหลือใช้ทางด้านการเกษตร เช่น ขี้เลือย โคโตชา กาแฟ ชาอ้อย กาแฟถั่วเหลือง เถ้าแกลบดำ เปลือกไม้ พางข้าว เป็นต้น
5. วัสดุดูดซับชีวภาพ (bisorbent) ได้แก่ เชลล์ลูลินทรี เช่น ยิสต์ หรือราสายพันธุ์ต่างๆ แบคทีเรีย และสาหร่าย

2.2 เหล็กในน้ำ

เหล็กมีปรากฏในธรรมชาติในสภาพอิสระเป็นปริมาณน้อย เหล็กที่มีปรากฏอยู่ในโลก ส่วนใหญ่ ปรากฏรวมตัวอยู่กับธาตุอื่นเป็นสารประกอบ เช่น ในแร่แมกนีเต็ท (Fe_3O_4) แร่เยมาタイトที่สีแดง (Fe_2O_3) แร่ลิมอนไนท์ ($Fe_2O_3 \cdot 3H_2O$) แร่ลิเดอไรท์ ($FeCO_3$) แร่พายไรท์ (FeS_2) เป็นต้น สินแร่เหล็ก (Iron Ore) เหล่านี้มีอุดมสมบูรณ์และบรรจุกันอยู่ตามที่ต่างๆทั่วโลก เช่น อยู่ตามชั้นหิน และชั้นดินต่างๆ เป็นต้น (เหล็กในน้ำบำนาญและการกำจัด, 2554)

เหล็กในน้ำบำนาญ

เหล็กในน้ำบำนาญจะมีลักษณะต่างๆ เป็น 3 ลักษณะ คือ

1. เหล็กในน้ำบำนาญชนิดที่ตกลงก่อนได้ทันทีภายหลังการเติมอากาศ
2. เหล็กในน้ำบำนาญชนิดที่ไม่ยอมตกตกลงก่อนได้จ่ายๆภายหลังการเติมอากาศ ทั้งนี้ เพราะน้ำบำนาญมีสภาพเป็นกรด
3. เหล็กในน้ำบำนาญชนิดที่บางส่วนตกตกลงก่อนได้ แต่บางส่วนไม่ยอมตกตกลงก่อนภายหลัง การเติมอากาศ เหล็กในน้ำบำนาญชนิดนี้จะพบมากที่สุด

ปัญหาของเหล็กในน้ำ

การมีเหล็กในน้ำทำให้เกิดปัญหาที่ยุ่งยากหลายอย่าง คือ

- ถ้ามีเหล็กในน้ำจะทำกระบวนการผลิตกระดาษ ผลิตกระดาษแล้วมีสีเหลือง หรืออาจเป็นจุดสีเหลือง หรือสีสนิมเหล็ก

- โรงงานผลิตเสื้อผ้าหรือพอกหน้า หากมีเหล็กจะทำให้เกิดจุดขึ้นบนเสื้อผ้าหรือหน้าได้
- โรงงานผลิตอาหารหากในน้ำมีเหล็ก จะทำให้อาหารมีรสชาติที่เปลี่ยนแปลงไป
- น้ำที่มีเหล็กก่อให้เกิดความชุน ทำให้ไม่เหมาะสมต่อการอุบัติกรด
- น้ำที่มีเหล็กก่อให้เกิดการอุดตันในระบบท่อจ่ายน้ำประปาได้
- น้ำที่มีเหล็กเวลาทำความสะอาดเสื้อผ้า จะทำให้เสื้อผ้าเป็นสีเหลือง หุ่งข้าวทำให้ข้าวบูดเร็ว
- น้ำที่มีเหล็กมาก มีโอกาสทำให้ม้อน้ำเกิดตะกรันขึ้นภายในหม้อน้ำได้

2.3 chan อ้อย (Sugarcane bagasse)

อ้อยเป็นพืชเศรษฐกิจที่สำคัญของไทย มีอัตราการปลูกแต่ละปีประมาณ 48 ล้านตันและมี chan อ้อยซึ่งเป็นวัสดุเส้นใยที่เหลือภายหลังบีบ chan อ้อยจากอ้อยแล้วประมาณ 25% ของน้ำหนักอ้อยหรือประมาณ 12 ล้านตันของผลผลิต (Pattra et al., 2008)

องค์ประกอบของ chan อ้อย

chan อ้อย ประกอบด้วยเซลลูโลส เอมิเซลลูโลส ลิกนินและเถ้า มีองค์ประกอบแสดงได้ดังตารางที่ 2.1

ตารางที่ 2.1 องค์ประกอบพื้นฐานของ chan อ้อย

องค์ประกอบ (%) โดยมวล				อ้างอิง
เซลลูโลส	เอมิเซลลูโลส	ลิกนิน	เถ้า	
37	28	21	-	Bon, 2007
26-47	19-33	14-23	1-5	Patranu, 1989
38	33	22	3	Trickett and Neyzell-de Wilde, 1982

ประโยชน์ของ chan อ้อย

ผลิตเป็นเชื้อเพลิง ผลิตกระดาษ ผลิตเป็นอาหาร เพอร์ฟูร์ กล่องโฟม และสารเคมีในการบอกซีลเซลลูโลส (CMC) เป็นต้น

2.4 ถ่านกัมมันต์

ถ่านกัมมันต์ หรือที่รู้จักว่า ถ่านชาร์ วัตถุดิบที่ใช้ผลิตส่วนมากมาจากวัสดุที่มีการบ่อนเป็นองค์ประกอบ วัตถุดิบที่นิยมใช้ผลิตได้แก่ ถ่านพิท ถ่านหิน ถ่านไม้และวัสดุเหลือทิ้งทางการเกษตร เช่น ขานอ้อย แกลบ กะลามะพร้าว และเปลือกถั่ว เป็นต้น ถ่านกัมมันต์เป็นตัวดูดซับที่ใช้กันมากในการกำจัดสารอินทรีย์และสารอินทรีย์ในน้ำเสีย เนื่องจากมีพื้นที่ผิวมากโครงสร้างที่เป็นรูพรุนขนาดเล็ก และมีรูรูปทรงชาติของผิวถ่านกัมมันต์ แต่ข้อเสียของถ่านกัมมันต์คือมีราคาแพงและการพื้นฟูสภาพ (regenerate) มีราคาสูง (Kandah et al., 2010)

กระบวนการผลิตถ่านกัมมันต์ แบ่งได้ 2 วิธีได้แก่ กระบวนการทางกายภาพ และกระบวนการทางเคมี

ก. การกระตุนทางเคมี เป็นถ่านกัมมันต์ที่ใช้สารเคมีเป็นสารกระตุน สารที่ทำการกระตุนส่วนมากเป็นสารเคมีประเภทกรดแก่ เบสแก่ และเกลือ เช่น HCl H₃PO₄ NaOH KOH และ NaCl เป็นต้น ถ่านพอกนี้มักจะมีรูพรุนขนาดใหญ่

ข. การกระตุนทางกายภาพ เป็นถ่านกัมมันต์ที่ใช้แก๊สออกซิเดช์เป็นสารกระตุนเช่น ไอน้ำ คาร์บอนไดออกไซด์ ถ่านกัมมันต์ที่ได้จะมีรูพรุนขนาดเล็ก นิยมใช้ในการดูดแก๊ส และไโอระเหย

การประยุกต์ใช้ของถ่านกัมมันต์

ใช้ในอุตสาหกรรมผลิตแก๊ส แยกทองคำ สมุดโลหะ ทางการแพทย์ ระบบบำบัดน้ำเสีย การกรองอากาศ ทางเคมีเป็นเฟสคงที่ในการแยกการโน้มเบรต และใช้เป็นตัวเร่งปฏิกิริยา เป็นต้น (activated carbon, 2010)

2.5 การดูดซับ

การดูดซับเป็นการแยกสารองค์ประกอบที่ต้องการออกจากสารละลายของเหลวหรือก้าชโดยให้สารละลายหรือก้าชผสมสัมผัสกับตัวดูดซับ องค์ประกอบแต่ละชนิดในสารละลายมีความสามารถในการกระยับนิวเคลียตและเกิดแรงดึงดูดกับตัวดูดซับได้ต่างกัน การดูดซับขึ้นอยู่กับลักษณะโครงสร้างของตัวดูดซับ คุณสมบัติทางเคมีของตัวดูดซับและตัวถูกดูดซับ จำนวนชั้นของโมเลกุลของตัวถูกดูดซับที่ถูกดูดซับบนพื้นที่ผิวของตัวดูดซับ และขนาดของรูพรุนในตัวดูดซับ ดังนั้นในการแยกองค์ประกอบที่ต้องการจะต้องเลือกตัวดูดซับให้เหมาะสมกับองค์ประกอบนั้น

สมดุลของการดูดซับ

การวิเคราะห์สมดุลของการดูดซับจะอาศัยความสมดุลนี้ที่สภาวะสมดุลของสมดุลของมวลสารเป็นความสมัมพันธ์ระหว่างความเข้มข้นของตัวถูกดูดซับในเฟสของเหลวกับความเข้มข้นของตัวถูกดูดซับบนเฟสของแข็ง ความสมัมพันธ์ดังกล่าวนี้จะถูกเขียนเป็นกราฟไอโซเทอร์มการดูดซับ (adsorption isotherm) ซึ่งอธิบายถึงการกระจายตัวของตัวถูกดูดซับระหว่างเฟสของเหลวและของแข็ง โดยอัตราการกระจายตัวนี้สามารถวัดได้ที่จุดสมดุลและจะขึ้นอยู่กับความเข้มข้นของตัวถูกดูดซับหรือคุณสมบัติของตัวถูกดูดซับ เมื่อเกิดการดูดซับโมเลกุลตัวถูกดูดซับจะเข้าครอบครองทุกตำแหน่งที่เกิดการดูดซับจนเต็มทุกตำแหน่ง และจะทำให้แรงดึงดูดของผิวตัวดูดซับนั้นอ่อนลง แต่

อาจยังคงสามารถดูดซึบโมเลกุลตัวถูกดูดซึบท่อไปได้ก่อให้เกิดเป็นชั้นที่สอง สาม และสี่ต่อไปเรื่อยๆ ซึ่งในความเป็นจริงแล้วอาจจะมีการดูดซึบชั้นที่สองก่อนที่ชั้นแรกจะเต็มและในบางตำแหน่งอาจจะดูดซึบท่อหอยาชันซ้อนสูงขึ้นรูปร่างของไอโซเทอร์มการดูดซึบจะให้ข้อมูลเกี่ยวกับกระบวนการดูดซึบและปริมาณของสารถูกดูดซึบนพื้นผิวตัวดูดซึบ ไอโซเทอร์มการดูดซึบที่นิยมใช้ได้แก่

1. ไอโซเทอร์มการดูดซึบแบบแลงเมียร์ เป็นการดูดซึบชั้นเดียว (monolayer)

สมมุติฐานเบื้องต้นของไอโซเทอร์มแลงเมียร์

1. ไม่เกิดจลน์ที่ต้องการดูดซึบในบริเวณที่แน่นอน
2. ไม่เกิดของสารถูกดูดซึบที่เกิดขึ้นโน้ไม่เกิดเดียว
3. บริเวณที่มีการดูดซึบจะมีพลังงานเท่ากัน
4. ไม่เกิดปฏิกิริยาภายในระหว่างโมเลกุลของสารถูกดูดซึบบริเวณพื้นที่ใกล้เคียง

ซึ่งจะเกิดขึ้นบนพื้นผิวและเกิดการดูดซึบแบบชั้นเดียว จะเขียนได้ว่า

$$q_e = \frac{(q_m K_L C_e)}{1 + K_L C_e} \quad \dots\dots\dots(1)$$

โดยที่ C_e = ความเข้มข้นของตัวถูกละลายที่สมดุล (มิลลิกรัมต่อลิตร)

q_e = ปริมาณการดูดซึบของตัวดูดซึบที่สมดุล (มิลลิกรัมต่อกิโลกรัม)

q_m = ปริมาณสารที่ถูกดูดซึบท่อปริมาณตัวดูดซึบ (มิลลิกรัมต่อกิโลกรัม)

K_L = ค่าคงที่ของสมการแลงเมียร์

จากไอโซเทอร์มของแลงเมียร์สามารถอธิบายรูปร่างไอโซเทอร์มโดยใช้ปัจจัยการแยก R_L ดังสมการ และกำหนดได้ ดังตารางที่ 1

$$R_L = \frac{1}{1 + K_L C_0}$$

โดยที่ C_0 คือความเข้มข้นเริ่มต้นของตัวดูดซึบ (มิลลิกรัมต่อลิตร)

ตารางที่ 2.2 ปัจจัยการแยกที่มีผลต่อรูปร่างของไอโซเทอร์มของแลงเมียร์

R_L	รูปร่างของไอโซเทอร์ม
$R_L > 1$	unfavorable
$R_L = 1$	linear
$0 < R_L < 1$	favorable
$R_L = 0$	irreversible

2. ไอโซเทอร์มแบบฟรุนเดลิช (Freundlich Isotherm) ไอโซเทอร์มการฟรุนเดลิชเป็นที่นิยมใช้กันมากเนื่องจากมีความถูกต้องสูง โดยเฉพาะอย่างยิ่งในกรณีสารละลายที่ค่อนข้างเจือจาง สมการแสดงดังนี้

$$q_e = K_F C_e^{1/n} \quad \dots\dots\dots(2)$$

โดยที่ q_e = ปริมาณของสารที่ถูกดูดซับต่อปริมาณของตัวดูดซับ หรือค่าการดูดซับที่สมดุล (มิลลิกรัมต่อกิโลกรัมหรือมิลลิโนลต่อกิโลกรัม)

C_e = ความเข้มข้นของตัวถูกละลาย (สารถูกดูดซับ) ในสารละลายที่จุดสมดุล (มิลลิกรัมต่อลิตรหรือมิลลิโนลต่อลิตร)

K_F = ค่าคงที่ของฟรุนเดลิช ($L \cdot mg^{-1}$)

K_F — \textcircled{n} ค่าคงที่สัมพันธ์กับพลังงานของการดูดซับ

2.6 จนผลศาสตร์การดูดซับ (Kinetic Model of Adsorption)

การศึกษาเกี่ยวกับจนผลศาสตร์การดูดซับนั้นมีความสำคัญต่อการบำบัดน้ำเสีย กล่าวคือจะให้ข้อมูลที่มีค่าต่อการเกิดปฏิกิริยารวมทั้งกลไกการดูดซับในการวิจัยนี้ได้ศึกษาจนผลศาสตร์การดูดซับของสีเย้อมโดยทำการวิเคราะห์ด้วยสมการ Pseudo-First Order Equation ซึ่งเขียนเป็นความสัมพันธ์ว่า

$$\frac{dq_1}{dt} = k_1(q_e - q_t) \quad \dots\dots\dots(3)$$

โดยที่ q_e = ความสามารถในการดูดซับที่สภาวะสมดุล (มิลลิกรัมต่อกิโลกรัม)

q_t = ความสามารถในการดูดซับ (มิลลิกรัมต่อกิโลกรัม)

k_1 = ค่าคงที่อัตราเร็วของปฏิกิริยาอันดับที่หนึ่ง (ต่อนาที)

t = เวลาที่ใช้ในการดูดซับ (นาที)

เมื่อ integrate จากขอบเขต $t = 0$ ถึง $t = t$ และ $q_t = 0$ ถึง $q_t = q_t$ จะได้สมการเป็น

$$\log(q_e - q_t) = \log q_e - \frac{k_1 t}{2.303} \quad \dots\dots\dots(4)$$

สำหรับสมการ Pseudo-Second Order Equation จะเขียนเป็นความสัมพันธ์ได้ว่า

$$\frac{dq_2}{dt} = k_2(q_e - q_t)^2 \quad \dots\dots\dots(5)$$

โดยที่ k_2 = ค่าคงที่อัตราเร็วของปฏิกิริยาอันดับที่สอง (กรัมต่อมิลลิกรัม-นาที)

เมื่อ integrate จากขอบเขต $t = 0$ ถึง $t = t$ และ $q_t = 0$ ถึง $q_t = q_t$ จะได้สมการเป็น

$$\frac{1}{q_e - q_t} = \frac{1}{q_e} + k_2 t \quad \dots\dots\dots(6)$$

ซึ่งเขียนเป็นสมการเด่นตรงได้ว่า

$$\frac{t}{q_t} = \frac{1}{k_2 q_e^2} + \frac{1}{q_e} t \quad \dots\dots\dots(7)$$

2.7 การกำจัดเหล็กในน้ำของตัวดูดซับชนิดต่าง ๆ

รัตนาน สันน์เมือง (2008) การศึกษาครั้งนี้มีวัตถุประสงค์เพื่อศึกษาประสิทธิภาพการกำจัดเหล็กในน้ำบาดาลสังเคราะห์ ด้วยไคลโตชานเมมเบรน ผลการศึกษาพบว่าไคลโตชานเมมเบรนสามารถดูดซับที่อุณหภูมิห้อง (28 องศาเซลเซียส) และที่ 40 องศาเซลเซียส ได้ดีที่พีเอช 2.5-7.0 (75.21– 100.00 %) สำหรับสมดุลในการดูดซับน้ำเกิดขึ้นตั้งแต่ช่วงแรกจนกระทั่งช่วงโมงที่ 16 โดยสามารถดูดซับเหล็กได้ 72.33-97.61 เปรอร์เซ็นต์ ส่วนการศึกษาอิทธิพลของความเข้มข้นของสารละลายเหล็กนั้นพบว่าไคลโตชานเมมเบรนมีความสามารถในการดูดซับเหล็กเพิ่มมากขึ้นเมื่อความเข้มข้นของสารละลายเหล็กสูงขึ้น โดยประสิทธิภาพของการดูดซับที่ดีจะอยู่ในช่วงความเข้มข้น 0.5–5.0 มิลลิกรัมต่อลิตร ซึ่งมีค่าการดูดซับอยู่ในช่วง 69.20-96.61 % ผลการศึกษาໄอโซเทโนของการดูดซับพบว่าสอดคล้องกับสมการฟรุนเดลิช ซึ่งแสดงให้เห็นว่าเป็นการดูดซับแบบต่อเนื่อง โดยมีค่าคงที่ K_f ในสมการฟรุนเดลิช เท่ากับ 19.05 ซึ่งมีค่าสูง แสดงถึงความจุในการดูดซับ ของไคลโตชานเมมเบรน ส่งผลให้ประสิทธิภาพในการดูดซับสูงด้วย

วรรณฯ สายแก้ว (2559). ศึกษาการกำจัดเหล็กทั้งหมดด้วยถังกรองที่บรรจุทรายกับเปลือกส้มโอ ทรัพยากรน้ำบาดาล ขนาด 160 ลิตร โดยน้ำจะถูกป้อนผ่านระบบเติมอากาศด้วยตะแกรงฝักบัว เช่นติเมตร ผ่านถังกรองทรายร่วมกับเปลือกส้มโอ ทุก ๆ 10 นาที เป็นเวลา 160 นาที เพื่อศึกษาประสิทธิภาพในการบำบัด ทั้งหมด เป็นตัวชี้วัด ผลการศึกษาพบว่า น้ำบาดาล ทั้งหมดที่เข้าสู่ระบบ มีค่าความเป็นกรดด่าง อยู่ในช่วง มีค่าอยู่ในช่วง 1-3, 2-5 และ 35-45 หน่วย ตามลำดับ 3.21-4.80 NTU ตามลำดับ และปริมาณเหล็กทั้งหมดมีค่าอยู่ในช่วง มิลลิกรัมต่อลิตร ตามลำดับ ส่วนน้ำออกจากระบบพบว่าค่าสี ที่ใช้บริโภคของกระวงทรัพยากรธรรมชาติและสิ่งแวดล้อม ทั้งหมดไม่ผ่านเกณฑ์

มาตรฐานฯ สำหรับประสิทธิภาพในการบำบัดพบร้าค่าสีมีประสิทธิภาพอยู่ในช่วง ร้อยละ 70.0-90.0 75.0-92.5 และ 87.5-97.5 และ 60.9-81.22 ตามลำดับ

รัญญา พรมศร. (2557). ศึกษาการสำรวจปริมาณเหล็กในน้ำบาดาลที่สูบขึ้นมาใช้ในต่ำบลเจริญ ธรรม อำเภอวิหารแดง จังหวัดสระบุรี พบร้าจากโรงเรียนบ้านราชภูร์เจริญมีปริมาณเหล็ก Fe^{2+} มากถึง 4.96 ± 0.03 mg/L ดังนั้นจึงเตรียมสารละลายเหล็ก Fe^{2+} ให้มีความเข้มข้น 4.96 mg/L เท่ากันเพื่อใช้ในการทดลอง ระบบกำจัดเหล็กประกอบด้วยคอลัมน์แก้วขนาดเส้นผ่าศูนย์กลาง 1.75 cm ความสูง 40 cm เชื่อมต่อทางด้านบนด้วยท่อพลาสติกขนาดเส้นผ่าศูนย์กลาง 6.1 cm ความสูง 40.5 cm บรรจุแคลเซียมไฮดรอกซิอะพาไทต์ 10 g ลงในคอลัมน์ให้น้ำไหลเข้าทางด้านปลายของคอลัมน์และไหลย้อนขึ้นไปทางท่อพลาสติกที่อยู่ทางด้านบน อัตราการไหลเฉลี่ยของน้ำเท่ากับ 0.4 mL/s แบ่งการทดลองออกเป็น 2 treatment คือ treatment ที่ 1 กำหนดให้น้ำไหลผ่านอย่างต่อเนื่องวันละ 5 L และ treatment ที่ 2 กำหนดให้น้ำไหลผ่านอย่างต่อเนื่องวันละ 20 L หยุดการทดลองเมื่อระบบมีประสิทธิภาพของระบบต่ำกว่าร้อยละ 50 จากการทดลองพบว่า Treatment ที่ 1 มีประสิทธิภาพในการกำจัดเหล็ก Fe^{2+} สูงสุดได้ถึงร้อยละ 95.77 ต่ำสุดเท่ากับร้อยละ 42.74 และมีค่าเฉลี่ยเท่ากับร้อยละ 80.22 หยุดการทดลองเมื่อน้ำไหลผ่านระบบได้ 55 L คิดเป็นปริมาณเหล็ก Fe^{2+} ที่ถูกกำจัดได้เท่ากับ 21.88 mg ต่อ 1 g ของแคลเซียมไฮดรอกซิอะพาไทต์ Treatment ที่ 2 มีประสิทธิภาพในการกำจัดเหล็ก Fe^{2+} สูงสุดได้ถึงร้อยละ 98.39 ต่ำสุดเท่ากับร้อยละ 46.98 และมีค่าเฉลี่ยเท่ากับร้อยละ 85.18 หยุดการทดลองเมื่อน้ำไหลผ่านระบบได้ 48 L คิดเป็นปริมาณเหล็ก Fe^{2+} ที่ถูกกำจัดได้เท่ากับ 20.28 mg ต่อ 1 g ของแคลเซียมไฮดรอกซิอะพาไทต์ ประสิทธิภาพในการกำจัดเหล็ก Fe^{2+} ของทั้ง 2 treatment ไม่แตกต่างกันอย่างมีนัยสำคัญทางสถิติที่ระดับ 0.01 และระบบการกำจัดเหล็กมีความสามารถในการกำจัดเหล็ก Fe^{2+} ในน้ำได้อย่างมีประสิทธิภาพ

กุลลดा บรรลีวงศ์. (2544). ศึกษาวิธีกำจัดเหล็กออกจากน้ำสำหรับใช้ในการเลี้ยงกุ้งกุลาดำ ด้วยวิธีออกแบบชั้นร่วมกับการตกตะกอนโดยใช้ออกซิเดซิงເອຈັນที่จำนวน 4 ชนิดคือ ໂພແທສເຊີມເປົ້ອ ແລະ ພາການເຕ, ໄໃໂດເຈນເປົ້ອອກໄຫ້ດີ, ແຄລເຊີມໄໂໂປຄລອໄຣຕ, ແລະ ອາກາສ ແລະ ໃຊ້ສາຮສັນ ແລະ ໂພລີ ອຸລຸມືນີຍົມຄລອໄຣຕເປັນສາຮ່ວຍໃຫ້ຕະກອນຮົມຕົວ ລັງຈາກການອົກຊີເຂັ້ມ ໂຊເດີມໄໂດຮອກໄຫ້ດີ ແລະ ແຄລເຊີມໄໂດຮອກໄຫ້ດູກໃຫ້ໃນການປັບປຸງເອົ້າໃຫ້ຢູ່ໃນໜ້າ 6 ຊົ່ງ 9 ເພື່ອໃຫ້ເກີດຕະກອນเหล็ก ເຫຼັກສາມາດຄຸກອົກຊີໄດ້ສີເດືອຍ່າງຮວດເຮົວດ້ວຍ ໂພແທສເຊີມເປົ້ອແລກນານ, ໄໃໂດເຈນເປົ້ອອກໄຫ້ດີ ແລະ ແຄລເຊີມໄໂໂປຄລອໄຣຕສາມາດອົກຊີໄດ້ສົ່ວຍຈາກສັນຕົວການເວລາຍ່າງເພິ່ງພວເພື່ອໃຫ້ເກີດການອົກຊີໄດ້ສີ່ອ່າງສມບູຽນ ໃນການນິທີໃຫ້ໂຊເດີມໄໂດຮອກໄຫ້ດີໃຫ້ຜລໃນການກຳຈັດເຫຼັກດີກວ່າແຄລເຊີມໄໂດຮອກໄຫ້ດີ ແຕ່ເນື່ອໃຫ້ແຄລເຊີມໄໂດຮອກໄຫ້ດີຮ່ວມກັບສາຮສັນຈະທຳໃຫ້ການຮົມຕົວຂອງຕະກອນເກີດຂຶ້ນໄດ້ ເຮົກວ່າການໃຫ້ໂຊເດີມໄໂດຮອກໄຫ້ດີຮ່ວມກັບສາຮສັນ ສປວະທີ່ເລືອກໃຫ້ສຳຫັກກຳຈັດເຫຼັກອົກຈາກນ້າ ສຳຫັກເລີ້ນກຸ່ງກຸລາດຳ ຄືການອົກຊີໄດ້ສົ່ວຍໄໃໂດເຈນເປົ້ອອກໄຫ້ດີ ປັບປຸງເອົ້າໃຫ້ມີ ດັບຕະຫຼາດ 8 ດ້ວຍແຄລເຊີມໄໂດຮອກໄຫ້ດີ ແລະ ໃຊ້ສາຮສັນເປັນສາຮ່ວຍໃຫ້ຕະກອນຮົມຕົວ ນ້ຳຫັກການ ທົດສອບຈະມີຄ່າພື້ເອົ້າແລະຄ່າຄວາມເປັນດ້າງອູ້ໃນໜ້າທີ່ເໝາະສົມແລະເຫຼືອເຫຼັກອູ້ໃນໜ້າໄໝເກີນ 0.3 ມິລືກຣິມຕ່ອລີຕຣ ຕາມເກົນທີ່ຄຸນກາພນ້າທີ່ຍື່ອມຮັບໄດ້

จักรกฤษณ์ ชัยว่อง. (2555). ระบบผลิตน้ำประปาขนาดเล็กส่วนใหญ่ใช้น้ำได้ดีเป็นน้ำดีในการผลิตและมักพบปัญหาการปนเปื้อนของเหล็กและலายน้ำในปริมาณมาก ในการศึกษาครั้งนี้เป็นแนวทางการเพิ่ม ประสิทธิภาพในการกำจัดเหล็กในน้ำได้ดีโดยใช้ประโยชน์จากกลไกของพืช การศึกษาใช้แบบจำลองความจุ 150 ลิตร ภายในบรรจุกรวดแม่น้ำและปลูกต้นกระเช้า (Cyperus involucratus Rottb.) และมีแบบจำลองควบคุมที่ไม่ปลูกพืชเพื่อเปรียบเทียบการลดปริมาณเหล็กและลายน้ำ แบบจำลองทั้งสองควบคุมให้น้ำไหลในแนวตั้งในอัตราการไหล 120 ลิตร/ชั่วโมง น้ำได้ดีที่ใช้ในการศึกษามีปริมาณเหล็กและลายน้ำเฉลี่ย 57 มก./ล. เมื่อผ่านการเติม อากาศ ด้วย\data เติมอากาศแล้วค่าเหล็กและลายน้ำลดลงเหลือ 47 มก./ล. ประสิทธิภาพในการกำจัดเหล็กและลายน้ำของแบบจำลองที่ปลูกพืชสูงกว่าแบบจำลองที่ไม่ได้ปลูกพืชโดยกำจัดได้ ร้อยละ 93 และร้อยละ 87 ตามลำดับ และงว่าพืชมีส่วนช่วยเพิ่มประสิทธิภาพการกำจัดเหล็กและลายน้ำได้เป็นอย่างดี เนื่องจากพืชสามารถส่งผ่านออกซิเจนไปยังส่วนรากพืชได้ ทำให้เหล็กที่ละลายน้ำนันได้สัมผัสนับ ออกซิเจนจากการพืชเพิ่มขึ้นและเปลี่ยนรูปคล้ายเป็นตะกอนเหล็ก นอกจากนี้กวดที่บรรจุในแบบจำลองยังมีส่วนช่วยให้เกิดการดูดติดผิวของเหล็กเพิ่มมากขึ้น และการไฟฟ้านาชั้นกรวดในแนวตั้ง ยังช่วยลดการไหลของน้ำในระบบเพื่อให้น้ำได้มีเวลาสัมผัสนับอากาศได้มากขึ้น

Oztas et al (2008). การกำจัดเหล็ก (3+) ในสารละลายน้ำด้วย clinoptilolite และ clinoptilolite ที่ปรับสภาพ ปัจจัยที่ศึกษาได้แก่ พีเอช เวลาที่สมดุลและความเข้มข้นของสารละลายน ผลการทดลอง สอดคล้องกับสมการແลงเมียร์และฟรุนเดลิช ความสามารถในการดูดซับของ clinoptilolite และ clinoptilolite ที่ปรับสภาพด้วย $\text{Na}_2\text{S}_2\text{O}_8$ ที่อุณหภูมิ 20 องศาเซลเซียส , 70 องศาเซลเซียส และ HNO_3 ที่อุณหภูมิ 20 องศาเซลเซียสไม่แตกต่างกัน แต่ clinoptilolite ที่ปรับสภาพด้วย HNO_3 ที่ 70 องศาเซลเซียส แตกต่างกันอย่างมีนัยสำคัญ ล้วนความสามารถในการกำจัดเหล็ก (3+) ด้วย clinoptilolite ที่ปรับสภาพด้วย HNO_3 พบว่ามีค่าลดลงเมื่ออุณหภูมิเพิ่มมากขึ้น และจากข้อมูลการทดลองจะแสดงว่าการดูดซับสามารถอธิบายได้ด้วยปฏิกิริยาสองเที่ยม

Sheibani et al (2012). ศึกษาการกำจัดเหล็ก (3+) ด้วยเปลือกปาล์ม ปัจจัยที่ศึกษาได้แก่ ความเข้มข้นสารละลายน พีเอช อุณหภูมิ เวลาที่สัมผัสและปริมาณตัวดูดซับ ภาวะที่ดูดซับสูงสุดได้แก่ พีเอช เท่ากับ 3 ปริมาณตัวดูดซับ 0.6 กรัม อุณหภูมิ 30 องศาเซลเซียส เวลาที่สมดุลเท่ากับ 70 นาที โดยมีร้อยละในการดูดซับสูงสุดเท่ากับ 83.5%. ผลการทดลองใช้สมการແลงเมียร์และฟรุนเดลิชอธิบาย ผลการทดลอง และมีค่าความสามารถในการดูดซับเท่ากับ 13.59 มิลลิกรัมต่อกรัม

Ossman et al (2014). ศึกษาการกำจัดเหล็ก (3+) ด้วยถ่านกัมมันต์จากฟางข้าวในระบบแบบท่อ ผลการทดลองพบว่าการดูดซับเกิดขึ้นอย่างรวดเร็วจนกระทั่งเข้าสู่สมดุลที่เวลา 50 นาที โดยมีร้อยละการกำจัดเท่ากับ 80 และที่พีเอชเท่ากับ 5 มีค่าการดูดซับมากที่สุด จากผลการทดลองสามารถอธิบายได้ด้วยสมการฟรุนเดลิชและการทดลองพบว่าถ่านกัมมันต์จากฟางข้าวมีประสิทธิภาพในการกำจัดเหล็กได้ดีเนื่องจากมีค่า 1/n น้อยกว่า 1

บทที่ 3

วิธีดำเนินการวิจัย

3.1 การเตรียมสารละลายน้ำ

สารละลายน้ำที่ใช้ได้แก่ $\text{FeSO}_4(\text{NH}_4)\text{SO}_4 \cdot 6\text{H}_2\text{O}$ ทำการเตรียมให้สารละลายน้ำมีความเข้มข้น 500 มิลลิกรัมต่อลิตร

3.2 เครื่องมือที่ใช้ในการวิจัย

3.2.1 เครื่องมือที่ใช้ในการทดลอง

1. ตู้อบความร้อน (hot air oven) บริษัท Memmert GMBH
2. โถดูดความชื้น (dessicator)
3. เครื่องซึ่ง 4 ตำแหน่ง (analytical balance) บริษัท Mettler-Toledo
4. เครื่องเขย่าควบคุมอุณหภูมิ (shaker bath) บริษัท Forma Scientific
5. เครื่องวัดความเป็นกรด-ด่าง (pH meter)
6. เครื่องคนอัดโน้มติ (magnetic stirrer)
7. เครื่องวัดค่าการดูดกลืนแสง (UV-Vis spectrophotometer)

3.2.2 อุปกรณ์ที่ใช้ในการทดลอง

1. ชุดกรองสูญญากาศ (vacuum)
2. บีกเกอร์ (beaker)
3. ขวดปรับปริมาตร (volumetric flask)
4. ขวดรูปไข่ (erlenmeyer flask)
5. แท่นแก้ว (stirrer)
6. แท่นคนอัดโน้มติ (magnetic stirrer)
7. กรวยกรอง (funnel)
8. ขวดน้ำกลั่น (washing bottle)
9. ปีเพต (pipet)
10. หลอดหยด (dropper)
11. ช้อนตักสาร (spatular)
12. กระดาษพิ ก้า (watch glass)
13. กระดาษกรองเบอร์ 42 (filter paper whatman No.42)

3.2.3 สารเคมีที่ใช้ในการทดลอง

1. กรดไฮโดรคลอกริก (HCl) ชนิด AR grade จากบริษัท Merck ประเทศเยอรมัน
2. โซเดียมไฮดรอกไซด์ (NaOH) ชนิด AR grade จากบริษัท APS Ajax Finechem ประเทศออสเตรเลีย
3. แอมโมเนียมเฟอร์สชัลเฟต (FeSO₄(NH₄)SO₄.6H₂O) ชนิด AR grade จากบริษัท APS Ajax Finechem ประเทศออสเตรเลีย
4. แอมโมเนียม (NH₃) ชนิด AR grade จากบริษัท APS Ajax Finechem ประเทศออสเตรเลีย
5. แอมโมเนียมคลอไรด์ (NH₄Cl) ชนิด AR grade จากบริษัท APS Ajax Finechem ประเทศออสเตรเลีย
6. ออร์โพฟีนอลโทลีน (C₁₂H₈N₂.H₂O) ชนิด AR grade จากบริษัท Merck ประเทศเยอรมัน
7. ไฮดรอกซีلامีน แอมโมเนียมคลอไรด์ (HONH₂.HCl) ชนิด AR grade จากบริษัท APS Ajax Finechem ประเทศออสเตรเลีย

3.3 วิธีการดำเนินการวิจัย

3.3.1. ประชากรและกลุ่มตัวอย่าง

น้ำตัวอย่าง เป็นน้ำตัวอย่างที่เตรียมขึ้นและน้ำตัวอย่างจริง ตัวดูดซับ คือ chan อ้อยและถ่านกัมมันต์จาก chan อ้อย

3.3.2. ศึกษาประสิทธิภาพและปัจจัยที่มีผลต่อการดูดซับ

3.3.2.1 การเตรียมตัวดูดซับ

1. chan อ้อยมาล้างน้ำแล้วตัดให้มี 1-2 เซนติเมตร และนำไปอบให้แห้งที่อุณหภูมิ 80 องศาเซลเซียส
2. นำ chan อ้อยไปแช่ด้วย 0.1 M HCl อัตราส่วน 1:10 ล้างด้วยน้ำกลั่นจนสารละลายเป็นกลาง และอบที่อุณหภูมิ 80 องศาเซลเซียส และนำมาคัดขนาดให้ได้ออนุภาค 50–100 เมช เก็บในโถดูดความชื้น

3.3.2.2 การเตรียมถ่านกัมมันต์จาก chan อ้อย

1. chan อ้อยมาล้างน้ำแล้วตัดให้มี 1-2 เซนติเมตรและนำไปอบให้แห้งที่อุณหภูมิ 80 องศาเซลเซียส
2. นำ chan อ้อยไปแช่ด้วย 1.0 M H₃PO₄ อัตราส่วน 1:10 เวลา 24 ชั่วโมง อบอุณหภูมิ 100 องศาเซลเซียส จนแห้ง และนำไปเผาที่อุณหภูมิ 600 องศาเซลเซียส เวลา 1 ชั่วโมง
3. นำถ่านกัมมันต์มาล้างด้วยน้ำกลั่นจนสารละลายเป็นกลาง และอบที่อุณหภูมิ 100 องศาเซลเซียส และนำมาคัดขนาดให้ได้ออนุภาค 50–100 เมช เก็บในโถดูดความชื้น

3.2.3 ศึกษาองค์ประกอบทางกายภาพและเคมีของชานอ้อยและถ่านกัมมันต์จากชานอ้อย ได้แก่

1. วิเคราะห์ลักษณะทางสัณฐานวิทยาและเทคนิคการวัดการกระจายพลังงานด้วย Scanning Electron Microscope equipped with Energy Dispersive Spectrometer (SEM-EDS) เพื่อศึกษาถึงพื้นผิวและการกระจายตัวของรูปรุน
2. วิเคราะห์องค์ประกอบเคมีด้วย Scanning Electron Microscope equipped Energy Dispersive Spectrometer (SEM-EDS) เพื่อศึกษาถึงปริมาณซิลิกาและอลูมินา
3. วิเคราะห์หมู่ฟังก์ชันด้วย Fourier transform infrared spectroscopy (FT-IR) เพื่อศึกษาถึงหมู่ฟังก์ชัน

3.2.4 ศึกษาประสิทธิภาพการกำจัดเหล็ก

ศึกษาประสิทธิภาพการกำจัดเหล็กที่ปัจจัยต่าง ๆ ได้แก่ เวลาที่สัมผัส และ ความเข้มข้นของสารละลาย มีขั้นตอนการทดลองมีดังนี้

3.2.4.1 ศึกษาเวลาที่เข้าสู่สมดุล

1. ชั่งตัวดูดซับชานอ้อยปริมาณที่เหมาะสม ลงในขวดรูปทรงพู่กันขนาด 250 มิลลิลิตร
2. ปีเปตัน้ำตัวอย่าง ปริมาตร 100 มิลลิลิตร ใส่ในขวดรูปทรงพู่กันข้อ 1
3. นำตัวอย่างมาเขย่าที่ช่วงเวลาต่าง ๆ ที่ความเร็ว 220 รอบต่อนาที อุณหภูมิ 30°C
4. นำสารละลายที่ได้มาตั้งไว้ในตัวอย่างที่ได้ไปกรองด้วยกระดาษกรองเบอร์ 42 และวัดปริมาณเหล็ก ($3+$) ที่เหลือด้วยเครื่อง UV-Vis spectrophotometer ที่ความยาวคลื่น 508 นาโนเมตร
5. ทำการทดลองซ้ำ 3 ชั้้ง แล้วคำนวณค่าปริมาณการดูดซับที่เวลาต่างๆ ไปเขียนกราฟ เพื่อหาเวลาที่เข้าสู่สมดุล
6. เปลี่ยนตัวดูดซับเป็นถ่านกัมมันต์จากชานอ้อย

3.2.1.2 ศึกษาผลของการเข้มข้นของสารละลาย

1. ชั่งชานอ้อยปริมาณที่เหมาะสม ลงในขวดรูปทรงพู่กันขนาด 250 มิลลิลิตร
2. ปีเปตัน้ำตัวอย่างที่ความเข้มข้นต่าง ๆ (จำนวน 5 ค่า) ปริมาตร 100 มิลลิลิตร ลงในขวดรูปทรงพู่กันข้อ 1
3. นำตัวอย่างมาเขย่าที่ช่วงเวลาเข้าสมดุลจากข้อ 2.2 ที่ความเร็ว 220 รอบต่อนาที อุณหภูมิ 30°C
4. นำสารละลายที่ได้ไปกรองด้วยกระดาษกรองเบอร์ 42 และวัดปริมาณเหล็ก ($3+$) ที่เหลือด้วยเครื่อง UV-Vis spectrophotometer ที่ความยาวคลื่น 508 นาโนเมตร
5. ทำการทดลองซ้ำ 3 ชั้้ง แล้วเขียนกราฟระหว่างค่าปริมาณการดูดซับกับปริมาณตัวดูดซับ

6. เปลี่ยนตัวดูดซับเป็นถ่านกัมมันต์จากชานอ้อย

3.2.1.3 นำตัวดูดซับได้แก่ ชานอ้อยและถ่านกัมมันต์จากชานอ้อยไปทดสอบกับน้ำตัวอย่างจริงจากชุมชน

จากผลการทดลองที่ได้นำมาคำนวณหาร้อยละการกำจัด ดังสมการ 6

$$\% \text{ การกำจัด} = \frac{(C_0 - C_t)}{C_0} \times 100 \quad \dots\dots\dots(6)$$

และคำนวณความสามารถในการกำจัด (adsorption capacity) ดังสมการ 7

$$q = \frac{V(C_0 - C_t)}{W} \quad \dots\dots\dots(7)$$

โดยที่ q = ความสามารถในการกำจัด (มิลลิกรัมต่อกิรัม) C_0 = ความเข้มข้นเริ่มต้นของน้ำตัวอย่าง (มิลลิกรัมต่อลิตร) C_t = ความเข้มข้นที่เหลืออยู่ที่เวลาหนึ่ง ๆ (มิลลิกรัมต่อลิตร) V = ปริมาตรน้ำเสียที่ใช้ (ลิตร) และ W = ปริมาณตัวดูดซับ (กรัม)

บทที่ 4

ผลการวิจัยและอภิปรายผลการทดลอง

ในการทดลองนี้ แบ่งการทดลองดังบทที่ 3 ที่มีขั้นตอนการทดลองดังนี้

ตอนที่ 1 การเตรียมตัวดูดซับ

1. ชานอ้อย
2. ถ่านกัมมันต์จากชานอ้อย

ตอนที่ 2 ศึกษาคุณลักษณะทางกายภาพและเคมีของตัวดูดซับ ได้แก่

1. วิเคราะห์ผื่นผิวด้วย Scanning Electron Microscope (SEM)
2. วิเคราะห์องค์ประกอบด้วย Scanning Electron Microscope (SEM-EDS)
3. วิเคราะห์หมู่ฟังก์ชันด้วย Fourier transform infrared spectroscopy (FT-IR)

ตอนที่ 3 ประสิทธิภาพการดูดซับ โดยศึกษาปัจจัยที่มีผลต่อการดูดซับ ได้แก่

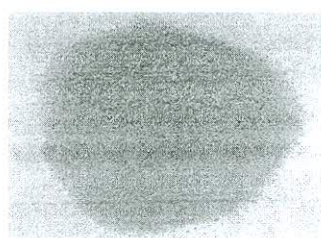
1. เวลาที่เข้าสู่สมดุล
2. ความเข้มข้นของสารละลาย

ตอนที่ 4 จากผลการทดลองใช้แบบจำลองคณิตศาสตร์แบบไอโซเทอร์มและจันพอลศาสตร์ การดูดซับ โดยผลการทดลองมีรายละเอียด ดังต่อไปนี้

4.1 การเตรียมตัวดูดซับ

4.1.1 การเตรียมชานอ้อย

1. ชานอ้อยมาล้างน้ำแล้วตัดให้มี 1-2 เซนติเมตร และนำไปปอกให้แห้งที่อุณหภูมิ 80 องศาเซลเซียส
2. นำชานอ้อยไปแช่ด้วย 0.1 M HCl อัตราส่วน 1:10 เวลา 3 ชั่วโมง ล้างด้วยน้ำก่อน จนสารละลายเป็นกลาง และอบที่อุณหภูมิ 80 องศาเซลเซียส และนำมาคัดขนาดให้ได้อันุภาค 50–100 มีคร. เก็บในถุงดูดความชื้น



รูปที่ 4.1 ชานอ้อย

4.1.2 การเตรียมถ่านกัมมันต์จากชานอ้อย

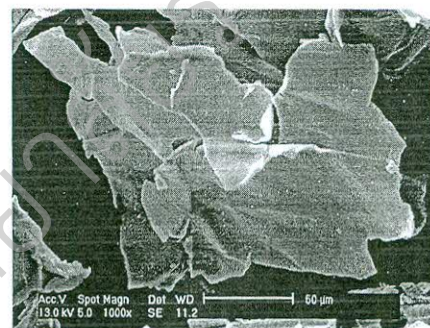
1. ชานอ้อยมาล้างน้ำแล้วตัดให้มี 1-2 เซนติเมตรและนำไปอบให้แห้งที่อุณหภูมิ 80 องศาเซลเซียส
2. นำชานอ้อยไปแช่ด้วย 1.0 M H_3PO_4 อัตราส่วน 1:10 เวลา 24 ชั่วโมง อบอุณหภูมิ 100 องศาเซลเซียส จนแห้ง และนำไปเผาที่อุณหภูมิ 600 องศาเซลเซียส เวลา 1 ชั่วโมง
3. นำถ่านกัมมันต์มาล้างด้วยน้ำก่อนจนสารละลายเป็นกลาง และอบที่อุณหภูมิ 100 องศาเซลเซียส และนำมาคัดขนาดให้ได้ออนุภาค 50–100 เมช เก็บในถุงความชื้น



รูปที่ 4.2 ถ่านกัมมันต์จากชานอ้อย

4.2 ศึกษาคุณลักษณะทางกายภาพและเคมีของตัวดูดซับ

- 4.2.1 วิเคราะห์ลักษณะพื้นผิวของตัวดูดซับได้แก่ ชานอ้อยและถ่านกัมมันต์จากชานอ้อย ดังรูปที่ 4.2 (ก) และ (ข) ตามลำดับ



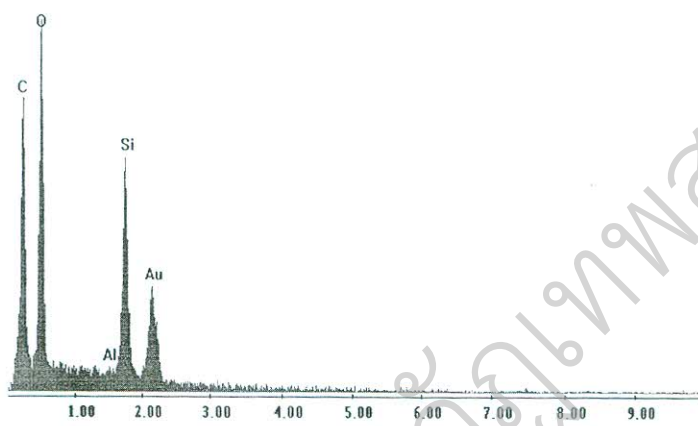
(ก) พื้นผิวของชานอ้อย



(ข) พื้นผิวของถ่านกัมมันต์จากชานอ้อย

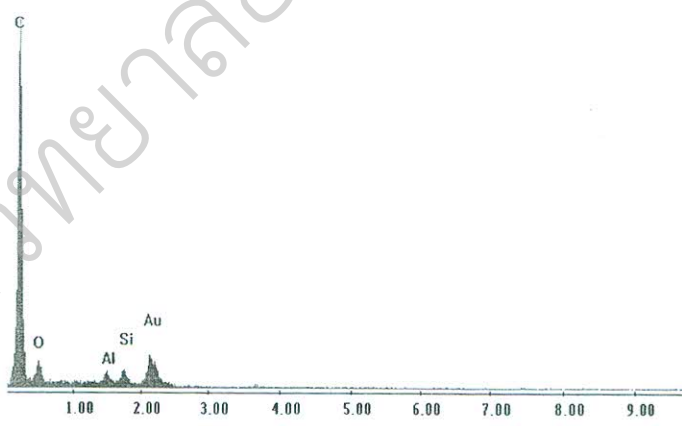
จากรูปที่ 4.2 (ก) พื้นผิวของชานอ้อยมีลักษณะพื้นผิวเรียบและมีรูพรุน ส่วนรูป (ข) พื้นผิวของถ่านกัมมันต์จากชานอ้อย พบว่าถ่านกัมมันต์มีลักษณะพื้นผิวที่ขรุขระ มีรูพรุนทั้งขนาดเล็กและใหญ่จำนวนมาก

4.2.2 วิเคราะห์องค์ประกอบด้วย Scanning Electron Microscope (SEM-EDS) ของตัวคุณภาพชัดเจนที่ได้แก่ ชานอ้อยและถ่านกัมมันต์จากชานอ้อย ดังรูปที่ 4.3 (ก) และ (ข) ตามลำดับ



รูปที่ 4.3 (ก) องค์ประกอบเคมีของชานอ้อย

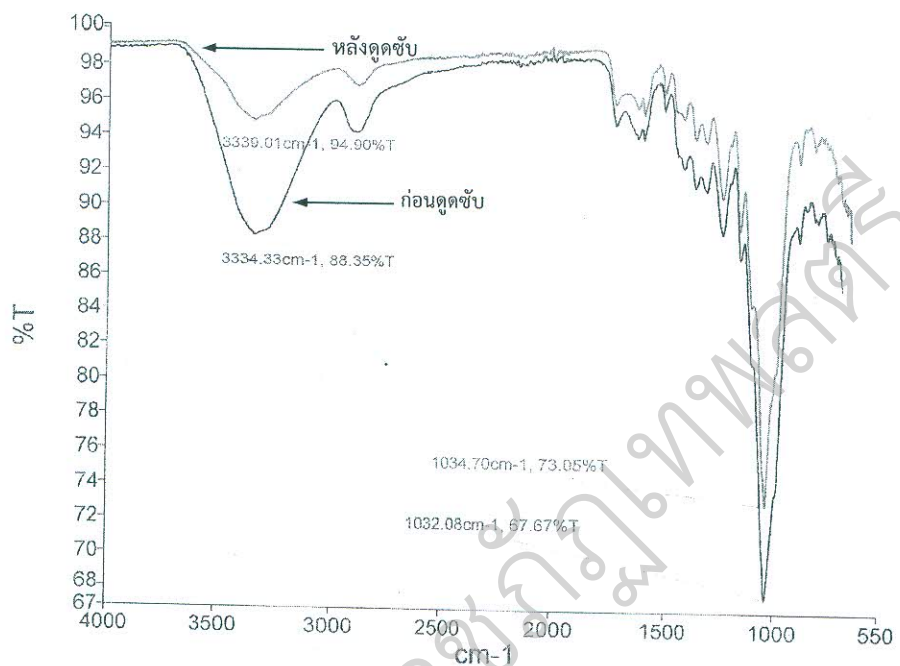
จากรูปที่ 4.3 (ก) องค์ประกอบเคมีของชานอ้อย พบว่าชานอ้อยมีคาร์บอนและซิลิกาเป็นองค์ประกอบหลัก



รูป 4.3 (ข) องค์ประกอบเคมีของถ่านกัมมันต์ชานอ้อย

จากรูปที่ 4.3 (ข) องค์ประกอบเคมีของถ่านกัมมันต์จากชานอ้อย พบว่าถ่านกัมมันต์จากชานอ้อยมีคาร์บอนเป็นองค์ประกอบหลัก

4.1.3 วิเคราะห์หมู่ฟังก์ชันด้วย Fourier transform infrared spectroscopy (FT-IR) ของตัวดูดซับ ได้แก่ ขานอ้อยและก้อนกัมมันต์จากขานอ้อย ดังรูปที่ 4.4 และ 4.5 ตามลำดับ

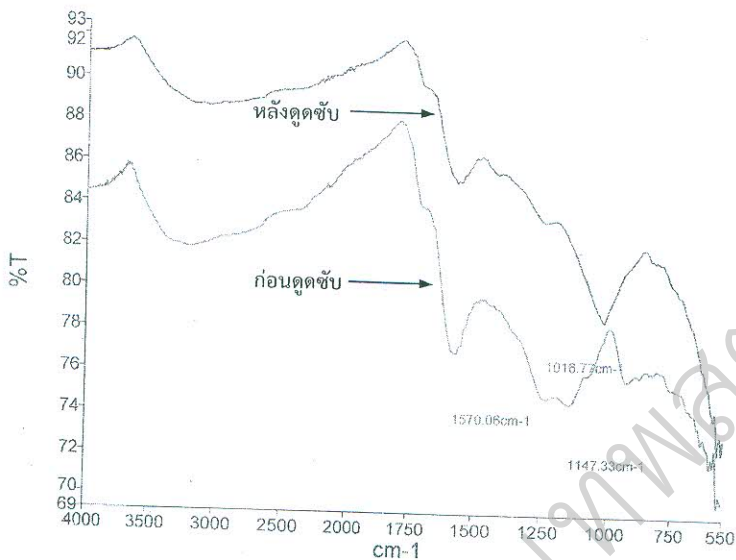


รูป 4.4 หมู่ฟังก์ชันของขานอ้อย

จากรูปที่ 4.4 วิเคราะห์หมู่ฟังก์ชันของตัวดูดซับก้อนดูดซับและหลังดูดซับที่ความยาวคลื่น $4000\text{--}750\text{ cm}^{-1}$ พบร่วมกัน

ก้อนดูดซับ พบรีกในช่วงความยาวคลื่นประมาณ 3334.33 cm^{-1} บ่งบอกถึงหมู่ไฮดรอกซิล (OH) พีกช่วงความยาวคลื่น $1,600\text{--}1,590\text{ cm}^{-1}$ บ่งบอกว่าเกิดการสั่นแบบ skeletal ของวงแหวนเบนซิน พีกช่วงความยาวคลื่น $1,420\text{--}1,300\text{ cm}^{-1}$ บ่งบอกว่าเกิดการสั่นแบบในระนาบ $\text{C}=\text{C-H}$ ของเชลลูโลสและไชโลส ($\text{C}=\text{C-H}$ in plane bending) พีกเกิดการสั่นช่วงความยาวคลื่นประมาณ $1,356\text{ cm}^{-1}$ บ่งบอกว่าเกิดการสั่นแบบกระดิกและการบิด CH_2 ของสารเชิงซ้อนน้ำตาล ดีออกซิ (deoxysugars complex) พีกช่วงความยาวคลื่นประมาณ $1,121\text{ cm}^{-1}$ บ่งบอกว่าเกิดการสั่น C-O-C ของโพลีแซคคาไรด์ (Sharma and Kaur, 2011)

หลังการดูดซับ พบร่วมกับพีกเกิดการเคลื่อน (shift) ทุกพีกหลังการดูดซับ เช่นในช่วงความยาวคลื่นประมาณ 3334.33 cm^{-1} เกิดการเคลื่อนไปเป็น 3339.01 cm^{-1}



รูป 4.5 หมู่ฟังก์ชันของถ่านกัมมันต์จากชานอ้อย

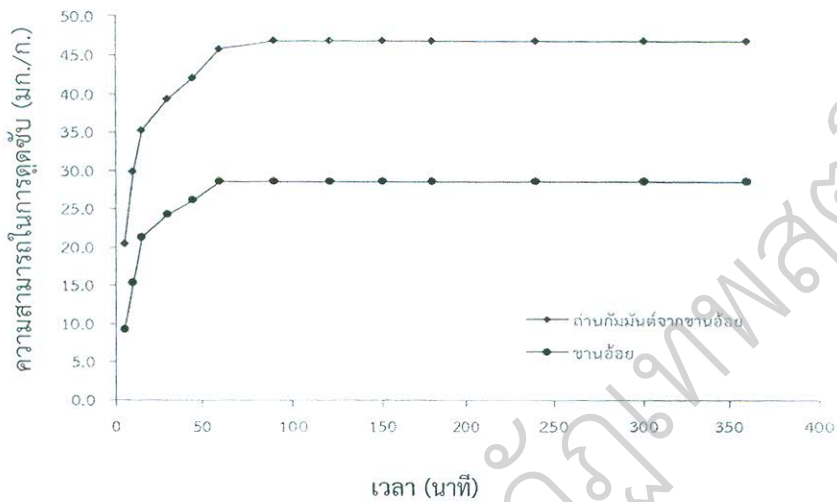
จากรูปที่ 4.5 วิเคราะห์หมู่ฟังก์ชันของถ่านกัมมันต์จากชานอ้อยใน范圍 $4000\text{--}750\text{ cm}^{-1}$ พบร่วมกัน

ก่อนดูดซับ พบรีกในช่วงความยาวคลื่นประมาณ 3334.33 cm^{-1} บ่งบอกถึงหมู่ไฮดรอกซิล (OH) พีกช่วงความยาวคลื่น $1,690\text{ cm}^{-1}$ บ่งบอกว่าเกิดการสั่นของ C = C พีกช่วงความยาวคลื่น 1,580 cm⁻¹ บ่งบอกว่าเกิดการสั่นของอะโรมาติก (aromatic skeletal) และพีกช่วงความยาวคลื่นประมาณ $1,147.33\text{ cm}^{-1}$ บ่งบอกว่าเกิดการสั่น C-C (Chen et al., 2012)

หลังการดูดซับ พบร่วมกับการเคลื่อน (shift) ทุกพีกหลังการดูดซับ และเกิดพีกใหม่ที่ความยาวคลื่น 1016.77 cm^{-1}

4.3 ผลของเวลาที่เข้าสู่สมดุล

ทำการทดลองการดูดซับที่เวลาสมดุล 5 10 15 30 45 60 90 120 150 180 210 240 300 และ 360 นาที โดยใช้ปริมาณตัวดูดซับ 0.2 กรัมสำหรับชานอ้อยและ 0.1 กรัมสำหรับถ่านกัมมันต์จากชานอ้อย ที่ความเข้มข้นสารละลายเหล็ก 100 มิลลิกรัมต่อลิตร (ที่ pH=3) ปริมาตร 100 มิลลิลิตร ที่อุณหภูมิ 30 องศาเซลเซียส ดังรูปที่ 4.6



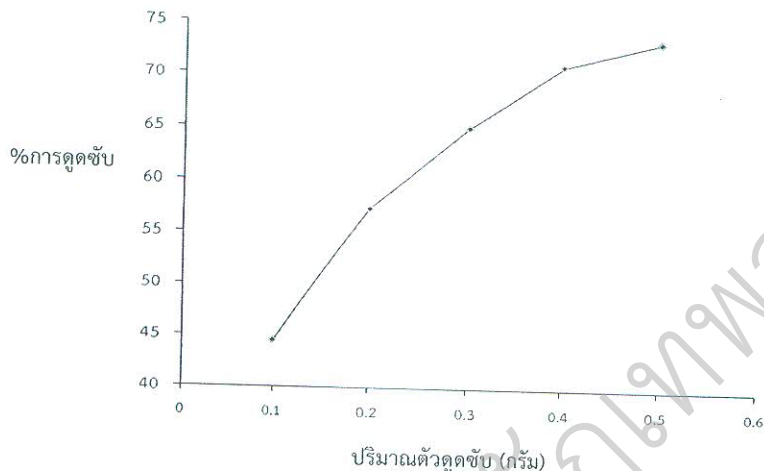
รูปที่ 4.6 ผลของเวลาในการดูดซับด้วยชานอ้อยและถ่านกัมมันต์จากชานอ้อย

ผลของเวลาที่มีต่อประสิทธิภาพการดูดซับเหล็กด้วยชานอ้อยและถ่านกัมมันต์จากชานอ้อย ดังรูปที่ 4.6 ผลการทดลองการดูดซับเหล็กที่เวลา 5-360 นาที พบร่วมกันว่าการดูดซับอย่างรวดเร็วในช่วงเวลา 5 นาที ของทั้ง 2 ตัวดูดซับ มีค่าความสามารถในการดูดซับ (q_t) เท่ากับ 9.278 และ 20.441 มิลลิกรัมต่อลิตรของชานอ้อยและถ่านกัมมันต์จากชานอ้อย ตามลำดับ การดูดซับดำเนินไปเรื่อยๆ และการดูดซับเกิดขึ้นอย่างรวดเร็ว จนกระทั่งดูดซับช้าลงและเข้าสู่สมดุลที่เวลา 60 นาที และ 90 นาที โดยมีค่าความสามารถในการดูดซับที่สมดุลเท่ากับ 28.635 และ 46.845 มิลลิกรัมต่อลิตร ของชานอ้อยและถ่านกัมมันต์จากชานอ้อย ตามลำดับ

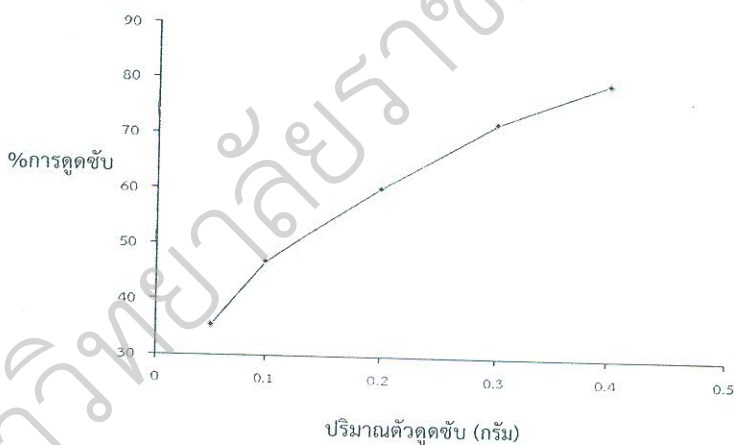
สอดคล้องกับงานวิจัยของ Sheibani et al (2012) ที่ศึกษาการกำจัดเหล็กด้วยเปลือกเกาลัด (hazelnut hull) ในความเข้มข้นสารละลาย 50 มิลลิกรัมต่อลิตร ($\text{pH} = 3.5$) ปริมาตร 100 มิลลิลิตร ปริมาณเกาลัด 0.5 กรัม ที่อุณหภูมิ 30 องศาเซลเซียส ผลการทดลองพบว่าการดูดซับเกิดขึ้นอย่างรวดเร็วในช่วงเวลา 40-60 นาที และเข้าสู่สมดุลการดูดซับที่เวลา 70 นาที โดยมีความสามารถในการดูดซับเท่ากับ 8.235 มิลลิกรัมต่อลิตร และสอดคล้องกับงานวิจัยของ Arivoli et al (2014) ศึกษาการกำจัดเหล็กด้วยถ่านกัมมันต์จากใบจอก (*Pistia Stratiotes Leaves*) ในความเข้มข้นสารละลาย 50 มิลลิกรัมต่อลิตร ($\text{pH} = 3.5$) ปริมาตร 50 มิลลิลิตร ปริมาณถ่านกัมมันต์ 0.025 กรัม ที่อุณหภูมิ 30 องศาเซลเซียส ผลการทดลองพบว่าการดูดซับเกิดขึ้นอย่างรวดเร็วในช่วงเวลา 40 นาที และเข้าสู่สมดุลการดูดซับที่เวลา 60 นาที โดยมีความสามารถในการดูดซับเท่ากับ 9.790 มิลลิกรัมต่อลิตร

4.4 ผลของปริมาณตัวดูดซับ

ทำการทดลองการดูดซับที่ความเข้มข้น 100 มิลลิกรัมต่อลิตร ปริมาตร 100 มิลลิลิตร (ที่ pH = 3) โดยใช้ปริมาณตัวดูดซับ 0.1 0.2 0.3 0.4 และ 0.5 กรัมสำหรับชานอ้อย และ 0.05 0.1 0.2 0.3 และ 0.4 กรัมสำหรับถ่านกัมมันต์จากชานอ้อย ที่อุณหภูมิ 30 องศาเซลเซียส ดังรูปที่ 4.7-4.8



รูปที่ 4.7 ผลของปริมาณตัวดูดซับในการดูดซับด้วยชานอ้อย

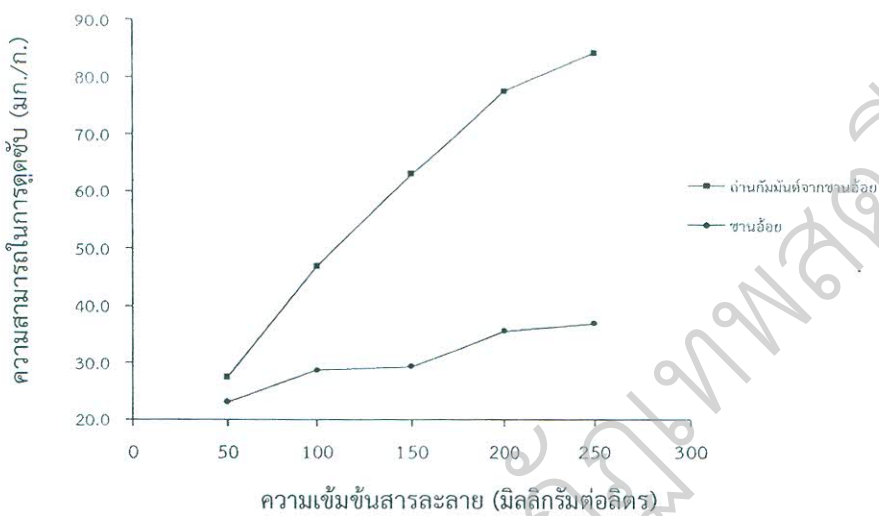


รูปที่ 4.8 ผลของปริมาณตัวดูดซับในการดูดซับด้วยถ่านกัมมันต์จากชานอ้อย

จากรูป 4.7 และ 4.8 ผลของปริมาณตัวดูดซับในการดูดซับเหล็กด้วยชานอ้อยและถ่านกัมมันต์จากชานอ้อย พบร่วมกับปริมาณตัวดูดซับเพิ่มมากขึ้นจะทำให้มีเปอร์เซ็นต์การดูดซับมากขึ้นโดยมีค่าเท่ากับ 44.46 57.30 65.11 70.94 และ 73.33 สำหรับชานอ้อยและ 35.46 46.85 50.28 53.23 และ 59.54 สำหรับถ่านกัมมันต์ ตามลำดับ

4.5 ผลของความเข้มข้นสารละลายน้ำมันดูดซึบ

ทำการทดลองการดูดซึบที่ความเข้มข้นสารละลายน้ำมันดูดซึบ 50 100 150 200 และ 250 มิลลิกรัมต่อลิตร ปริมาตร 100 มิลลิลิตร (ที่ pH = 3) โดยใช้ปริมาณตัวดูดซึบ 0.2 กรัมสำหรับชานอ้อยและ 0.1 กรัมสำหรับถ่านกัมมันต์จากชานอ้อย ที่อุณหภูมิ 30 องศาเซลเซียส ดังรูปที่ 4.9



รูปที่ 4.9 ผลของความเข้มข้นสารละลายน้ำใน การดูดซึบด้วยชานอ้อยและถ่านกัมมันต์จากชานอ้อย

ผลของความเข้มข้นสารละลายน้ำในการดูดซึบด้วยชานอ้อยและถ่านกัมมันต์จากชานอ้อย ที่ความเข้มข้นสารละลายน้ำ 50-250 มิลลิกรัมต่อลิตร ผลการทดลองพบว่า เมื่อความเข้มข้นสารละลายน้ำมากขึ้นทำให้ค่าความสามารถในการดูดซึบมากขึ้น โดยมีค่าความสามารถในการดูดซึบเท่ากับ 23.109 28.653 29.311 35.569 และ 36.892 มิลลิกรัมต่อกิโลกรัมสำหรับชานอ้อย และ 27.521 46.845 62.999 77.571 และ 84.249 มิลลิกรัมต่อกิโลกรัมสำหรับถ่านกัมมันต์จากชานอ้อย

ซึ่ง Mane et al. (2007) กล่าวว่าเป็นการที่ความเข้มข้นมากขึ้นทำให้ความสามารถในการดูดซึบมากขึ้นนั้น เป็นผลจากแรงขับ (driving force) ของการถ่ายเทมวลระหว่างสารละลายน้ำ (adsorbate) และตัวดูดซึบ (adsorbent) คือ เมื่อความเข้มข้นของตัวถูกละลายมากขึ้น ทำให้ผลต่างระหว่างความเข้มข้นของตัวถูกละลายในสารละลายน้ำกับความเข้มข้นของตัวถูกละลายที่ผิวตัวดูดซึบมากขึ้น ทำให้มีแรงขับมากขึ้น หรือเมื่อมีโมเลกุลตัวถูกละลายมากขึ้นโอกาสการดูดติดมีมากขึ้น แต่ในที่สุดจะเกิดการอิ่มตัวของการดูดติดเส้นกราฟที่ความเข้มข้นสูงขึ้นจะเปลี่ยนแปลงน้อยลงและคงที่ในแนวระนาบ หรือเมื่อความเข้มข้นสูงขึ้นจะเกิดอันตรกิริยาระหว่างสารละลายน้ำและตัวดูดซึบ โดยที่ความเข้มข้นของสารละลายน้ำต่ำ ๆ โมเลกุลของสารละลายน้ำจะเข้าไปปิดดูดติดได้น้อย

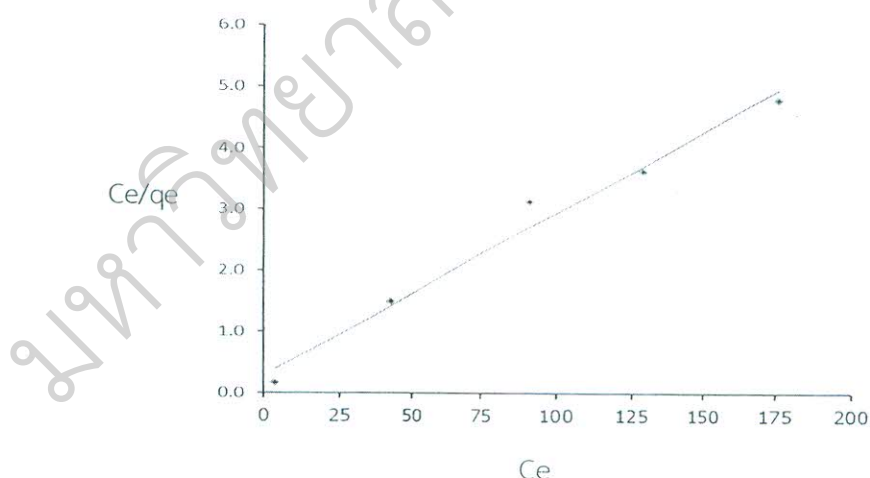
4.6 ไอโซเทอร์มการดูดซับ

ไอโซเทอร์มของการกำจัดเหล็กด้วยชานอ้อยและถ่านกัมมันต์จากชานอ้อย เป็นการหาความสัมพันธ์ระหว่างปริมาณของสารละลายน้ำเหล็กที่ถูกดูดซับต่อหน่วยน้ำหนักของชานอ้อยและถ่านกัมมันต์จากชานอ้อย กับความเข้มข้นของสารละลายน้ำเหล็กที่เหลืออยู่ที่สภาวะสมดุล ณ อุณหภูมิที่คงที่เพื่อหาไอโซเทอร์มที่เหมาะสม และใช้อธิบายลักษณะการดูดซับผลการทดลองและค่าความสัมพันธ์ตามสมการไอโซเทอร์มจะเป็นดังตารางที่ 4.1

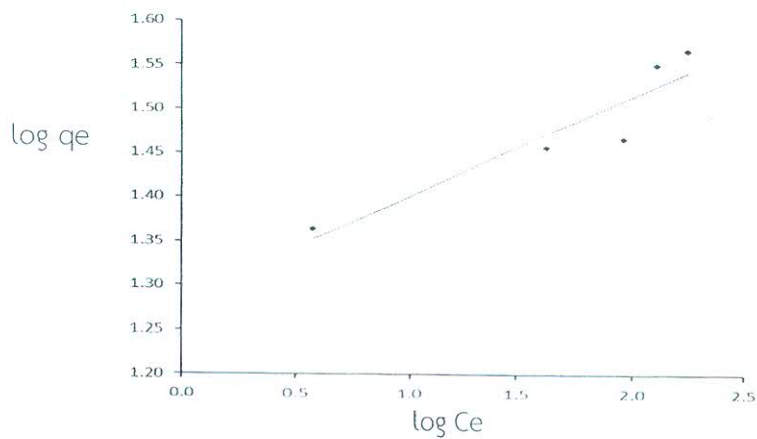
ตารางที่ 4.1 ผลการคำนวณจากไอโซเทอร์มการกำจัดเหล็กด้วยชานอ้อย

ความเข้มข้น สารละลายน้ำเหล็ก (mg/L)	Ce (mg/L)	qe (mg/g)	Ce/qe	log Ce	log qe
50	3.782	23.109	0.164	0.578	1.364
100	42.695	28.653	1.490	1.630	1.457
150	91.377	29.311	3.117	1.961	1.467
200	128.862	35.569	3.623	2.110	1.551
250	176.217	36.892	4.777	2.246	1.567

จากข้อมูลในตารางที่ 4.1 เมื่อนำมาเขียนกราฟแบบสมการเส้นตรง (linear equation) จะได้กราฟเส้นตรงของไอโซเทอร์มแลงเมียร์กับฟรุนเดลิชของชานอ้อย ดังรูป 4.10-4.11



รูปที่ 4.10 ไอโซเทอร์มการดูดซับแลงเมียร์ของชานอ้อย

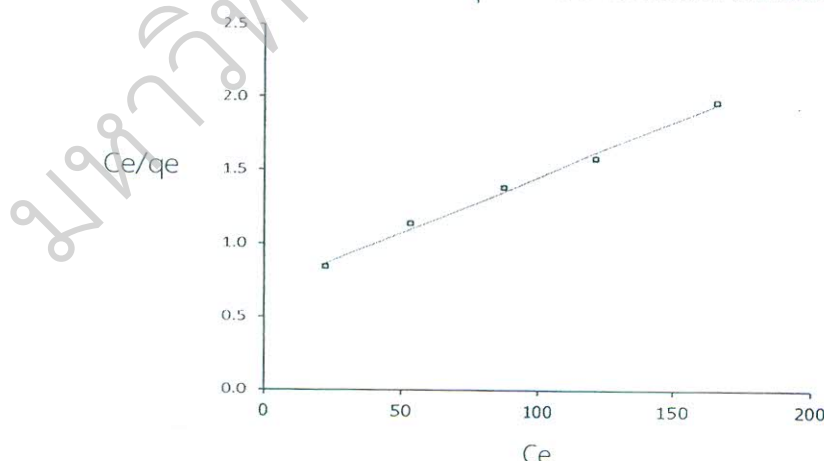


รูปที่ 4.11 ไอโซเทอร์มการดูดซับฟรุนเดิลิกของชานอ้อย

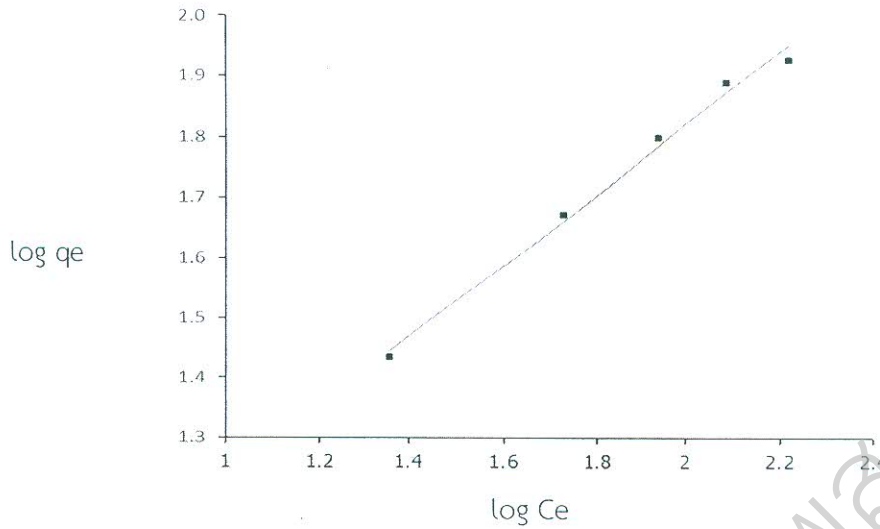
ตารางที่ 4.2 ผลการคำนวณจากไอโซเทอร์มการกำจัดเหล็กด้วยถ่านกัมมันต์จากชานอ้อย

ความเข้มข้นสารละลายนมก/ล	Ce (mg/L)	qe (mg/g)	Ce/qe	log Ce	log qe
50	22.861	27.139	0.842	1.359	1.434
100	53.155	46.845	1.135	1.726	1.671
150	87.001	62.999	1.381	1.940	1.799
200	122.429	77.571	1.578	2.088	1.890
250	165.751	84.249	1.967	2.219	1.926

จากข้อมูลในตารางที่ 4.2 นำมาเขียนกราฟแบบสมการเส้นตรง (linear equation) จะได้ กราฟเส้นตรงของไอโซเทอร์มลงเมียร์กับฟรุนเดิลิกของถ่านกัมมันต์จากชานอ้อย ดังรูป 4.12-4.13



รูปที่ 4.12 ไอโซเทอร์มการดูดซับลงเมียร์ของถ่านกัมมันต์จากชานอ้อย



รูปที่ 4.13 ไอโซเทอร์มการดูดซับฟรุนเดลิชของถ่านกัมมันต์จาก chan o'oy

จากการวิเคราะห์ผลโดยใช้สมการเส้นตรงไอโซเทอร์มແลงเมียร์และฟรุนเดลิชในการทำนายผลการทดลองการกำจัดเหล็กด้วย chan o'oy และถ่านกัมมันต์จาก chan o'oy จะได้พารามิเตอร์ต่าง ๆ ดังตารางที่ 4.3

ตารางที่ 4.3 พารามิเตอร์ของไอโซเทอร์มการกำจัดเหล็กของ chan o'oy และถ่านกัมมันต์จาก chan o'oy

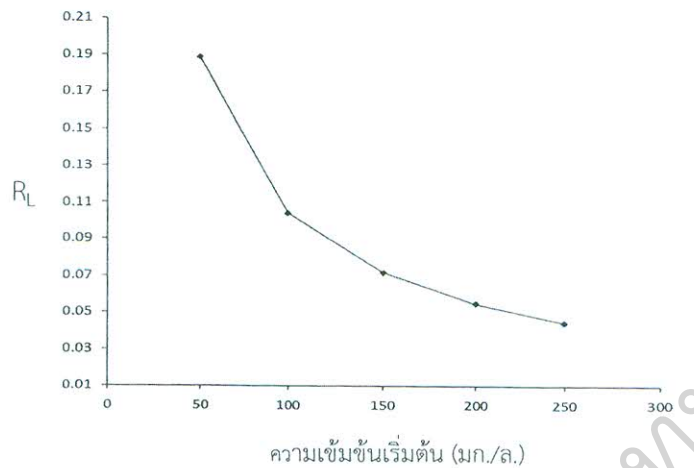
ไอโซเทอร์มແลงเมียร์	พารามิเตอร์	
	ชาโย'อย	ถ่านกัมมันต์จาก chan o'oy
q_{\max} (mg/g)	39.526	131.579
K_L (L/mg)	0.086	0.011
R_L	0.188-0.044	0.645-0.267
R^2	0.980	0.993
ไอโซเทอร์มฟรุนเดลิช		
$1/n$	0.114	0.587
K_F (mg/g)	19.349	4.432
R^2	0.873	0.992

ไอโซเทอร์มการกำจัดเหล็กด้วยชาโย'อย และถ่านกัมมันต์จาก chan o'oy ใช้สมการແลงเมียร์และฟรุนเดลิชอิบายผลการทดลอง แสดงดังรูปที่ 4.9-4.10 และ 4.11-4.12 ส่วนค่าคงที่ของสมการແลงเมียร์และฟรุนเดลิช แสดงในตารางที่ 4.3 และเมื่อพิจารณาความสอดคล้องของไอโซเทอร์มจาก การดูดซับพิจารณาจากค่าสัมประสิทธิ์สหสมพหกรรมมีความใกล้เคียง 1 มากที่สุด ผลการทดลองพบว่า

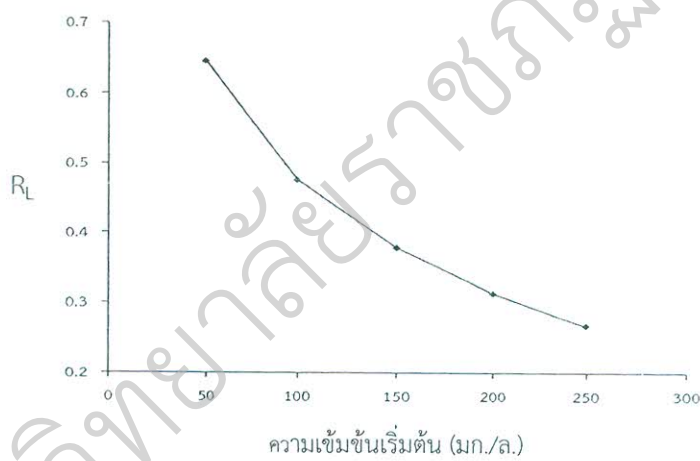
การดูดซับเหล็กด้วยชาเย้อออยสอดคล้องกับสมการແลงเมียร์มากกว่าสมการฟรุนเดลิชอธิบายได้ว่าเป็นการดูดซับแบบขั้นเดียว โดยมีค่าความสามารถสูงสุด (maximum adsorption capacity, q_{max}) เท่ากับ 39.526 มิลลิกรัมต่อกรัม : สอดคล้องกับงานวิจัยของ Benaisa et al (2016) ที่ศึกษาการกำจัดเหล็กด้วยสาหร่ายทะเลสาหร่ายบราวน์สาลี (brown algae *Sargassum Vulgare*) ผลการทดลองพบว่าสอดคล้องกับสมการແลงเมียร์ และสอดคล้องกับงานวิจัยของ Sheibani et al (2012) ที่ศึกษาการกำจัดเหล็กด้วยเปลือกเกล้าด (hazelnut hull) ผลการทดลองพบว่าสอดคล้องกับสมการແลงเมียร์และฟรุนเดลิช โดยมีค่าความสามารถสูงสุด (maximum adsorption capacity, q_{max}) เท่ากับ 13.59 มิลลิกรัมต่อกรัม

ส่วนถ่านก้มมันต์จากขานอ้อย ผลการทดลองที่ได้สอดคล้องทั้งสมการແลงเมียร์และฟรุนเดลิช แต่สอดคล้องกับสมการແลงเมียร์มากกว่าอธิบายได้ว่าเป็นการดูดซับแบบขั้นเดียว โดยมีค่าความสามารถสูงสุด (maximum adsorption capacity, q_{max}) เท่ากับ 131.579 มิลลิกรัมต่อกรัม สอดคล้องกับงานวิจัยของ Akl et al (2013) ที่ศึกษาการดูดซับเหล็ก (3+) และแมงกานีส (2+) ด้วยถ่านก้มมันต์จากลูกมะกอก (olive stone) ที่ทำการกระตุนด้วยกรด HNO_3 และ ammonium persulfate ผลการทดลองสามารถอธิบายได้ด้วยสมการແลงเมียร์มากกว่าฟรุนเดลิชทั้งสองโลหะหนัก : สอดคล้องกับงานวิจัยของ Maneechakr and Karnjanakom (2017) ที่ศึกษาการดูดซับเหล็ก (+2) โครเมียม (+6) ด้วยถ่านก้มมันต์ที่เตรียมจากต้นสะแกนา (*Combretum quadrangulare* Kurz.) ผลการทดลองเมื่อพิจารณาจากค่าสัมประสิทธิ์สหสัมพันธ์ สามารถอธิบายได้ด้วยสมการແลงเมียร์มากกว่าสมการฟรุนเดลิชของทั้งสองโลหะหนัก : สอดคล้องกับงานวิจัยของ Thuan et al (2017) ที่ศึกษาการดูดซับ Cu^{2+} และ Ni^{2+} ด้วยถ่านก้มมันต์จากเปลือกถั่วที่กระตุนด้วยโพแทสเซียมไฮดรอกไซด์ผลการทดลองที่ได้สามารถอธิบายได้ด้วยสมการແลงเมียร์มากกว่าสมการฟรุนเดลิชของทั้งสองโลหะหนัก และสอดคล้องกับงานวิจัยของ Abdel-Ghani et al (2015) ที่ศึกษาการดูดซับ Al(3+) และ Fe(3+) ด้วยถ่านก้มมันต์จากฟางข้าวที่กระตุนด้วย $NaOH$ ผลการทดลองพบว่าการดูดซับ Al(3+) และ Fe(3+) สามารถอธิบายได้ด้วยสมการແลงเมียร์ทั้งสองโลหะหนัก โดยมีค่าความสามารถในการดูดซับสูงสุดเท่ากับ 34.48 มิลลิกรัมต่อกรัมของ Al(3+) และ 45.45 มิลลิกรัมต่อกรัมของ Fe(3+) ตามลำดับ

จากไอโซเทอร์มของแลงเมียร์ในการกำจัดเหล็กด้วยชานอ้อยและถ่านกัมมันต์จากชานอ้อยสามารถอธิบายในเทอมปัจจัยการแยก (separation factor) ได้ดังรูปที่ 4.14 และ 4.15



รูปที่ 4.14 ปัจจัยการแยกในการกำจัดเหล็กด้วยชานอ้อย



รูปที่ 4.15 ปัจจัยการแยกในการกำจัดเหล็กด้วยถ่านกัมมันต์จากชานอ้อย

จากรูป 4.14 และ 4.15 ค่าปัจจัยการแยกในการกำจัดเหล็กด้วยชานอ้อยและถ่านกัมมันต์จากชานอ้อย พบว่าในการดูดซับมีค่าปัจจัยการแยกเท่ากับ $0.188-0.044$ และ $0.645-0.267$ ซึ่งบ่งบอกว่าเป็นการดูดซับที่ดี เนื่องจากมีค่า $0 < R_L < 1$

4.7 การจำจัดเหล็กในน้ำบาดาลจากชุมชน

ทำการศึกษาประสิทธิภาพการจำจัดเหล็กในน้ำบาดาลด้วยชานอ้อยและถ่านกัมมันต์จากชานอ้อย ทำการเก็บตัวอย่างน้ำบาดาลจากชานบ้านในพื้นที่ จ.ลพบุรี มาทำการวิเคราะห์ปริมาณความกระด้างเริ่มต้น พบว่ามีปริมาณเหล็กเท่ากับ 35.125 มิลลิกรัมต่อกิโล และนำมาทำการจำจัดความกระด้างด้วย พบร่วงชานอ้อยมีร้อยละการดูดซึบเท่ากับ 18.24 และถ่านกัมมันต์จากชานอ้อย มีร้อยละการดูดซึบเท่ากับ 62.36

บทที่ 5

สรุปผลการวิจัยและข้อเสนอแนะ

5.1 สรุปผลการวิจัย

ทำการศึกษาการกำจัดเหล็กในน้ำบาดาลด้วยชานอ้อยและถ่านกัมมันต์จากชานอ้อย โดยศึกษาปัจจัยที่มีผลต่อการคุณภาพ ได้แก่ ผลของเวลาที่เข้าสู่สุมดุล ปริมาณตัวคูดซับและความเข้มข้นของสารละลาย สรุปผลการทดลองได้ดังนี้

1. ทำการเตรียมถ่านกัมมันต์จากชานอ้อย โดยการกรองตื้นด้วย $1.0 \text{ M H}_3\text{PO}_4$ และนำไปเผาที่อุณหภูมิ 600 องศาเซลเซียส เวลา 1 ชั่วโมง และเมื่อวิเคราะห์ด้วย FTIR พบร่วมกับในช่วงความยาวคลื่นประมาณ $3334.33, 1,690, 1,580$ และ $1,147.33 \text{ cm}^{-1}$
2. ศึกษาประสิทธิภาพการกำจัดเหล็ก ที่ความเข้มข้น 100 มิลลิกรัมต่อลิตร และปริมาตร 100 มิลลิลิตร (ที่ $\text{pH} = 3$) ผลการทดลองมีดังนี้
 - 1.1 ผลของเวลาที่มีต่อประสิทธิภาพการกำจัด ที่เวลา 5-360 นาที พบร่วมกับการคุณภาพเกิดขึ้นที่เวลา 60 และ 90 นาที และมีค่าความสามารถในการคุณภาพเท่ากับ 28.635 และ 46.845 มิลลิกรัมต่อกิโลกรัม ของชานอ้อยและถ่านกัมมันต์จากชานอ้อย ตามลำดับ
 - 1.2 ผลของปริมาณตัวคูดซับในการกำจัด โดยใช้ปริมาณตัวคูดซับ 0.1-0.5 กรัมสำหรับชานอ้อย และ 0.05-0.4 กรัมสำหรับถ่านกัมมันต์จากชานอ้อย พบร่วมกับมีร้อยละการคุณภาพเท่ากับ 44.46-73.33 และถ่านกัมมันต์จากชานอ้อยมีร้อยละการคุณภาพเท่ากับ 35.46-79.544 ตามลำดับ
 - 1.3 ผลของความเข้มข้นสารละลายในการกำจัด ที่ความเข้มข้นสารละลาย 50-250 มิลลิกรัมต่อลิตร ผลการทดลองพบว่าชานอ้อย มีความสามารถในการคุณภาพเท่ากับ 23.109-36.892 มิลลิกรัมต่อกิโลกรัม และถ่านกัมมันต์จากชานอ้อยมีความสามารถในการคุณภาพเท่ากับ 27.521-84.249 มิลลิกรัมต่อกิโลกรัม ตามลำดับ
 3. การกำจัดเหล็กด้วยชานอ้อยและถ่านกัมมันต์จากชานอ้อยสอดคล้องกับสมการลงเมียร์ และมีค่าความสามารถสูงสุด ($\text{maximum adsorption capacity, } q_{\max}$) เท่ากับ 39.526 และ 131.579 มิลลิกรัมต่อกิโลกรัม ตามลำดับ
 4. ค่าปัจจัยการแยกการกำจัดเหล็กด้วยชานอ้อยและถ่านกัมมันต์จากชานอ้อย พบร่วมกับค่าปัจจัยการแยกเท่ากับ 0.188-0.044 และ 0.645-0.267
 5. จากข้อมูลการทดลองสรุปได้ว่าชานอ้อยและถ่านกัมมันต์จากชานอ้อย มีประสิทธิภาพในการกำจัดเหล็กในน้ำได้ดี

5.2 ข้อเสนอแนะ

1. ทำการเตรียมถ่านกัมมันต์จากวัสดุเหลือทิ้งทางเกษตรในท้องถิ่น เช่น แกลบและเปลือกข้าวโพด และใบอ้อย เป็นต้น
2. นำมาประยุกต์ใช้ในการกำจัดสารอนินทรีย์ และอนินทรีย์ ในน้ำทิ้งจากแหล่งต่าง ๆ

เอกสารอ้างอิง

- กุลลดा บรรลือวงศ์. (2544). กำจัดเหล็กออกจากน้ำสำหรับใช้ในการเลี้ยงกุ้งกุลาดำ ด้วยวิธี
ออกซิเดชันร่วมกับการตัดตะกอน. *วิทยาศาสตร์สภาวะแวดล้อม (สาขาวิชา) วิทยาศาสตร์*
มหาบัณฑิต จุฬาลงกรณ์มหาวิทยาลัย
- จักรกฤษณ์ ชัยวงศ์. (2555). การเพิ่มประสิทธิภาพการกำจัดเหล็กในน้ำไดินโดยใช้พีซ. *วิศวกรรม*
ศาสตร์มหาบัณฑิต. มหาวิทยาลัยพะเยา.
- ธัญญา พรมศร (2557). การกำจัดเหล็กในน้ำด้วยแคลเซียมไฮดรอกซิโอฟายต์. *รายงานวิจัย*
มหาวิทยาลัยธุรกิจบัณฑิต.
- รัตนา สนั่นเมือง, ยุทธพงษ์ อุดແນນ และวิภารัตน์ เชื้อชาด (2008). การกำจัดเหล็กในน้ำบาดาล
สังเคราะห์ด้วยไฮโดรเจนเมมเบรน. *NU Science Journal* : 5(2): 200 – 209
- วรรณ สายแก้ว (2559). การกำจัดเหล็กทั้งหมดด้วยถังกรองที่บรรจุทรายร่วมกับเปลือก
ส้มโอ. *วารสารเทคโนโลยีอุตสาหกรรม มหาวิทยาลัยราชภัฏอุบลราชธานี*. 6(1) : มกราคม-
มิถุนายน : 135-146.
- เหล็กในน้ำบาดาลและการกำจัด. (2554). ออนไลน์ เข้าถึงได้จาก
<http://202.129.59.73/tn/March54/Ferum.htm>
- “Activated carbon” [Online] Available http://en.wikipedia.org/wiki/Activated_carbon,
2010.
- Akl, M.A., Yousef, A.M. and AbdElnasser, S. (2013). Removal of Iron and Manganese in
Water Samples Using Activated Carbon Derived from Local Agro-Residues.
Chemical Engineering & Process Technology. 4(4) :1-10.
- Benaisa, S., Mail, R. El and Jbari, N. (2016). Biosorption of Fe (III) from aqueous
solution using brown algae *Sargassum Vulgare*. *J. Mater. Environ. Sci.* 7 (5) :
1461-1468.
- Bon, E.P.S. 2007. Ethanol production via enzymatic hydrolysis of sugarcane bagasse
and straw. Paper presented at the food and Agricultural Organisation Symposium.
*“The role of agricultural biotechnologies for production of bio-energy in energy
in developing countries.”*
- Chen, Cui-Xia., Huang, B., Li, T. and Wu, Jeng-Feng. (2012). Preparation of phosphoric
acid activated carbon from sugarcane bagasse mechanochemical processing.
Bioresources. 7(4) : 5109-5116.
- Maneechakr, P. and Karnjanakom, S. (2017). Adsorption behaviour of Fe(II) and Cr(VI)
on activated carbon: Surface chemistry, isotherm, kinetic and thermodynamic
studies. *J. Chem. Thermodynamics* 106 : 104–112.
- Patranu, J.M. 1989. “*By-products of the Cane Sugar Industry.*” 3rd ed. Elsevier,
Amsterdam, Netherlands.

- Ossmana, M.E., Fataha, M.A. and Taha, N.A (2014). Fe(III) removal by activated carbon produced from Egyptian rice straw by chemical activation. Desalination and Water Treatment. 52 : 3159–3168.
- Oztas, N.A., Karabakan, A. and Topal, O (2008). Removal of Fe(III) ion from aqueous solution by adsorption on raw and treated clinoptilolite samples. Microporous and Mesoporous Materials. 111 : 200–205.
- Sharma, P and Kaur, H. Sugarcane bagasse for the removal of erythrosin B and methylene blue from aqueous waste. Appl Water Sci (2011) 1:135–145.
- Sheibani, A., Shishehbor, M.R and Alaei, H. 2012. Removal of Fe(III) ions from aqueous solution by hazelnut hull as an adsorbent. International Journal of Industrial. 3, 4.
- VASU, A, E. (2008). Adsorption of Ni(II), Cu(II) and Fe(III) from Aqueous Solutions Using Activated Carbon. E-Journal of Chemistry. <http://www.e-journals.net> Vol. 5, No. 1, pp. 1-9, January 2008
- Venkat, S., Mane, Mall, I.D and Srivastava, V.D. (2007). Kinetic and equilibrium isotherm studies for the adsorptive removal of Brilliant Green dye from aqueous solution by rice husk ash. Journal of Environmental Management 84 (2007) 390–400.
- Trickett, R.C. and Neyzell-de Wilde, F.G. Bagasse hemicellulose acid hydrolysis and residue treatment prior to enzymatic hydrolysis of cellulose. “South Africa Food Review” April/May (1982) : 95-101.

ภาคผนวก

ภาคผนวก ก

ตารางที่ ก.1 ผลของเวลาในการกำจัดเหล็กในน้ำบ้าดาลด้วยชานอ้อยและถ่านกัมมันต์จากชานอ้อย

เวลา (นาที)	ความสามารถในการดูดซับ (มิลลิกรัมต่อกรัม)	
	ชานอ้อย	ถ่านกัมมันต์จากชานอ้อย
5	9.278	20.441
10	15.361	29.865
15	21.325	35.254
30	24.266	39.320
45	26.128	42.136
60	28.635	45.781
90	28.635	46.844
120	28.635	46.844
150	28.635	46.844
180	28.635	46.844
240	28.635	46.844
300	28.635	46.844
360	28.635	46.844

ตารางที่ ก.2 ผลของปริมาณตัวดูดซับในการกำจัดเหล็กในน้ำบ้าดาลด้วยชานอ้อยและถ่านกัมมันต์จากชานอ้อย

ชานอ้อย (กรัม)	ร้อยละการกำจัด	ถ่านกัมมันต์จากชานอ้อย (กรัม)	ร้อยละการกำจัด
0.1	44.468	0.05	35.465
0.2	57.305	0.1	46.845
0.3	65.110	0.2	60.278
0.4	70.947	0.3	72.239
0.5	73.332	0.4	79.544

ตารางที่ ก.3 ผลของความเข้มข้นในกำจัดเหล็กในน้ำ淡化ด้วยชานอ้อยและถ่านกัมมันต์จากชานอ้อย

ความเข้มข้นสารละลายน้ำ (มิลลิกรัมต่อลิตร)	ความสามารถในการดูดซับ (มิลลิกรัมต่อกิรัม)	
	ชานอ้อย	ถ่านกัมมันต์จากชานอ้อย
50	23.109	27.139
100	28.653	46.845
150	29.311	62.999
200	35.569	77.571
250	36.892	84.249